

# 3

## DOSIMETRIA

Kari Jokela

### SISÄLLYSLUETTELO

|     |  |     |
|-----|--|-----|
| 3.1 | Yleistä .....                                    | 60  |
| 3.2 | Kudosten ja solujen sähköiset ominaisuudet ..... | 60  |
| 3.3 | Kenttien kytkeytyminen kehoon .....              | 78  |
| 3.4 | Kvasistaattinen alue .....                       | 81  |
| 3.5 | Resonanssialue .....                             | 98  |
| 3.6 | Pinta-absorptioalue .....                        | 105 |
| 3.7 | Yhteenveto .....                                 | 111 |

### 3.1 | Yleistä

Kudoksissa vaikuttava sähkökenttä  $E_i$ , virrantiheys  $J$  ja ominaisabsorptionopeus SAR ovat tärkeimmät kehon sisäiset altistumissuureet, joista sähkömagneettisten kenttien biologiset vaikutukset määrätyvät. Keskeinen ongelma on siinä, miten kehon sisäiset kentät määrätyvät ulkoisista kentistä. Täysin samanlaisissa ulkoisissa altistumisolosuhdeissa voi syntyä täysin erilainen kehon sisäinen altistuminen riippuen riippuu kehon muodosta, koosta, johtavuudesta ja kehon asennosta kenttään nähden. Tähän kehon sisäisen altistumisen arviointiin käytetään dosimetriaa.

Mikroskooppisessa dosimetriassa tavoitteena on saada tietoa kenttien hienojakaumasta, jotta päästääsiin pureutumaan kenttien biologisiin ja biofysikaaliin vuorovaikutusmekanismiin solu- ja molekyylitasolla. Mikroskooppisen dosimetrian tutkimus auttaa myös ymmärtämään, miten erityyppisten kudosten ja solujen rakenne vaikuttaa kudosten keskimääräisiin sähköisiin ominaisuuksiin eri taajuuksilla.

Makroskooppisessa dosimetriassa tutkitaan kenttien keskimääräistä ja kaumaa äärellisessä tilavuudessa, joka tyypillisesti on muutaman kuutio-millimetrin kokoinen. Tässä tilavuudessa kudosten hienorakenteen vaikutus on pääosin tasotunnut. Miltei kaikki käytännön dosimetriset mittaukset ja laskut tehdään makroskooppisessa mittakaavassa.

### 3.2 | Kudosten ja solujen sähköiset ominaisuudet

#### Kudosten rakenne ja koostumus

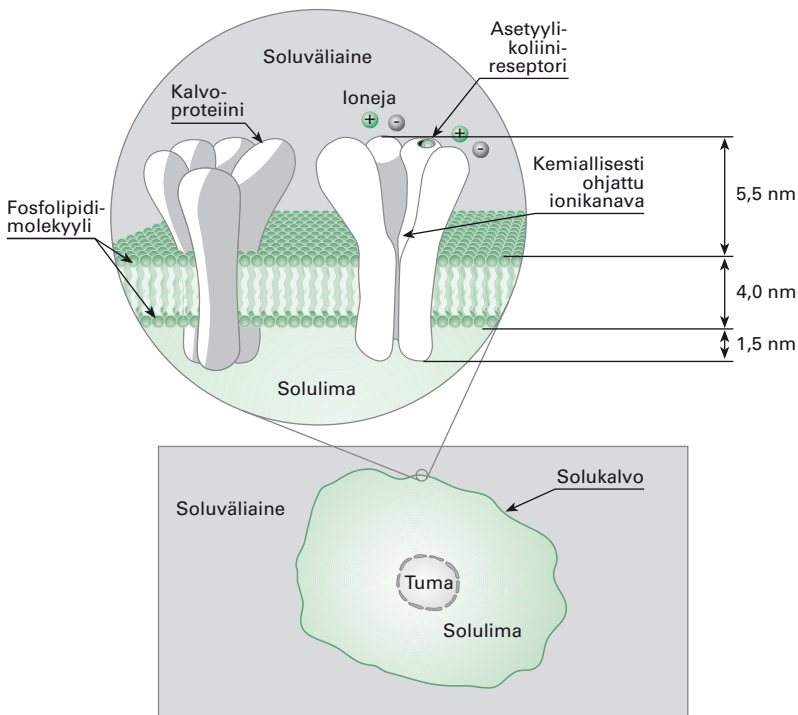
Kemialliselta koostumukseltaan kudokset ovat vettä, siihen liuenneita suoloja sekä erilaisia orgaanisia yhdisteitä kuten aminoappoja, hiilihydraatteja, nukleihinappoja ja rasvhappoja. Suuri vesipitoisuus (40–70 %) sekä solurakenne ovat keskeisimpia kudosten sähköisiin ominaisuuksiin vaikuttavia tekijöitä.

Soluja ympäröi ulkoinen solukalvo eli plasmamembraani. Se säädellee soluun tulevien ja solusta poistuvien aineiden määrään ja laatuun, sekä vastaanottaa ja lähetää kemiallisia viestejä. Solukalvo muodostuu kahdesta fosfolipidimolekyylikerroksesta, jossa on glykoproteiineista muodostuvia, jähmeästi liikkuvia makromolekylejä, kuva 3.1. Useimmat niistä toimivat entsyyminä, ionikanavina tai viestejä vastaanottavina resepto-

rimolekyyleinä. Glykoproteiineihin kiinnittyy molemmilta puolilta ioneja ja erilaisten orgaanisten yhdisteiden molekyylejä. Kalvon paksuus on tyypillisesti 6–10 nm.

Solun sisäpuoli muodostuu solulimasta eli sytosolistaa ja siinä olevista soluelimistä, joita ovat esimerkiksi tuma, mitokondri ja endoplasminen kalvosto. Ihmisen geenit on pakattu tumaan sisältämään DNA-rihmoihin, joista kromosomit muodostuvat. Aivan kuten solua myös tumaa ympäröi kalvo, joka tosin on läpäisevämpi kuin ulkoinen solukalvo. Solun biologista on lisätietoa solubiologian oppikirjoissa sekä tämän kirjasarjan 4. osassa Säteilyn terveysvaikutukset.

Sähköisiltä ominaisuuksiltaan kudokset ovat sekoitus eristeitä ja johteita. Soluväliaine ja solulima ovat verraten hyviä johteita, sillä niihin on liuenut ioneja. Johtavuutta heikentää hieman se, että solun kiinteät ainesosat



**Kuva 3.1 Solukalvon rakenne**

Solukalvo muodostuu kahdesta fosfolipidimolekyykerroksesta ja siinä jähmeästi liikkuvista glykoproteiineista. Kalvoproteiini muodostaa ionikanavan, joka avautuu, kun reseptoriin kytkeytyy asetyyliliolinimolekyyli. Sähköisesti stimuloituilla soluilla, kuten hermosoluilla, on ionikanavia, jotka avautuvat solukalvon yli kytkeytyvän jännitteenvälin ohjaamana.

kuten ovat makromolekyylit ja erilaiset kalvorakenteet syrjäyttävät osan nestetilasta. Kiinteät aineosat ovat sähköisiltä ominaisuuksiltaan lähempiä eristeitä. Nämä ominaisuudet vaikuttavat keskeisesti siihen, miten ulkoisten kentien aiheuttama sisäinen sähkökenttä jakautuu kehossa ja mitä reittejä pitkin indusoitunut virta kulkee. Paikalliset kentän ja virran tihentymät ovat biologisten vaikutusten kannalta tärkeitä.

Pientaajuisessa kentässä solukalvo eristää solun sisäosan sähköisesti soluväliaineesta. Solukalvon rakenneosa lipidimolekyylikalvo on erittäin hyvä eriste, mutta ionikanavat heikentävät tästä eristystä aiheuttaen resistiivistä vuotovirtaa kalvon läpi. Suurilla yli 10 MHz taajuuksilla eristysvaikutus häviää, koska solukalvo alkaa johtaa kapasitiivisesti.

### Permittiivisyys, johtavuus ja permeabiilisuus

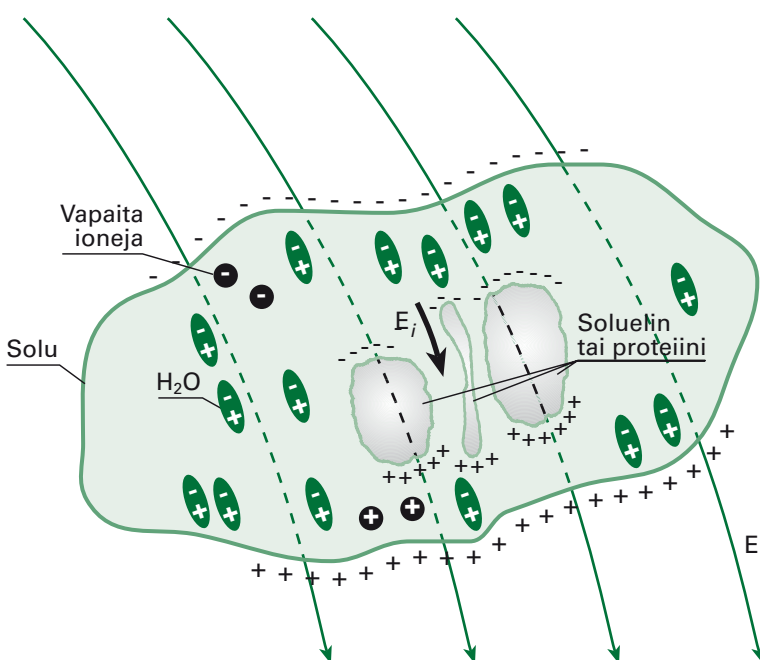
Aineiden sähköiset ominaisuudet määrätyvät sisäisen sähkökentän ja varattujen hiukkasten välisistä sähköisistä vuorovaikutuksista. Sähkökentän aiheuttama voima pyrkii vetämään negatiivisia ja positiivisia varauksia eri suuntiin. Tämän seurauksena väliaineen vapaat varauksenkuljettajat ja ionit liikkuvat sähkökentän suuntaan ja syntyy polarisaatiota. Polarisaatiossa erimerkkisistä varauksista muodostuvat sähköisesti neutraalit hiukkaset eli dipolit pyrkivät käänymään sähkökentän suuntaan, mutta eivät kulkeudu kentän suunnassa. Väliaineen polarisaatiota ei saa sekoittaa sähkömagneettisen aallon polarisaatioon, jota käsiteltiin kappaleessa 2.2. Biologisten kudosten kannalta erityisen tärkeitä polarisaation muotoja ovat dipolipolarisaatio ja Maxwellin–Wagnerin polarisaatio, kuva 3.2.

Dipolipolarisaatiossa kenttä pyrkii käänämään väliaineessa olevia sakin sokin suuntautuneita kiinteitä dipoleja kentän suuntaisiksi. Vesimolekyyliissä happi- ja vetyatomien dipolimomentti on suuri, joten ne suuntautuvat hyvin herkästi kentän mukana, kuva 2.4. Maxwellin–Wagnerin eli rajapintapolarisaatiossa suuren makromolekyylien ja solukalvojen pinnoille muodostuu erimerkkisiä varauksia kentän vaikuttuksesta; kappale toimii ikään kuin suurikokoisenä dipolina. Maxwellin–Wagnerin ilmiön edellytyksenä on, että polarisoituvan hiukkasen ja väliaineen sähköiset ominaisuudet poikkeavat toisistaan, jolloin syntyy sähköinen rajapinta.

Dipoli- ja Maxwellin–Wagnerin polarisaatioiden lisäksi on elektroni- ja ionipolarisaatiota, jossa sähkökenttä aiheuttaa dipoleja atomitasolla – esimerkiksi poikkeuttaen atomeja kiertäviä elektroneja. Polarisaation

voimakkuus on suoraan verrannollinen sähkökentän voimakkuuteen. Mitä voimakkaampi kenttä on sitä paremmin dipolit suuntautuvat sähkökentän suuntaan, ja sitä suurempi varaus hiukkasen ja väliaineen rajapinnoille syntyy.

Kiinteiden dipolien ja sähkökentän induoimien dipolien lisäksi kudosnesteissä on positiivisia ja negatiivisia ioneja, jotka syntyvät suolojen liuetessa veteen, kuva 2.4a. Alle 100 kHz taajuuksilla biologisen materiaalin johtavuus määräytyy pääasiassa vapaista ionesta. Biologisille aineille pätee yleisesti, että pienillä, alle 1 MHz taajuuksilla kudokset ovat sähköisiltä ominaisuuksiltaan karkeasti rinnastettavissa johteisiin. Suurilla taajuuksilla biologiset aineet ovat lähempänä häviöllisiä eristeitä. Suurilla taajuuksilla on kätevää määritellä tehollinen johtavuus, jossa mukana ovat myös polarisaatiohäviöt. Kun dipoli käännyt, kenttä tekee



**Kuva 3.2 Sähkökentän aiheuttama polarisaatio väliaineessa ja solulimassa**

Sähkökenttä synnyttää polarisaatiota ja ionivirtauksia väliaineessa ja solulimassa. Vapaat ionit pyrkivät liikkumaan sähkökentän  $E$  suunnassa, positiiviset ja negatiiviset ionit vastakkaisiin suuntiin. Negatiivisesta ja positiivisesta varauksesta muodostuvat kiinteät dipolit, kuten vesimolekyylit, pyrkivät käänymään kentän suuntaisiksi. Hiukkaset, kuten solut ja proteiinit, jotka poikkeavat sähköisiltä ominaisuuksiltaan väliaineesta pyrkivät polarisoitumaan kentän suunnassa (Maxwellin–Wagnerin polarisaatio).

työtä, jolloin syntyy häviötä ja lämpötila kasvaa. Polarisatiöhäviöissä tehoa kuluu tähän käänymiseen, jota jarruttavat hiukkasten väliset kitakteijät. Häviöiden suuruus riippuu taajuudesta.

Homogenisen väliaineen sisällä ei synny varauskeskittymiä, koska dipolien päässä olevat erimerkkiset varaukset kumoavat toisensa. Varauskeskittymiä sen sijaan syntyy, kun kappaleen ja sitä ympäröivän väliaineen sähköiset ominaisuudet poikkeavat toisistaan. Tällöin kappaleen vastakkaisille pinnoille muodostuu sähkökentän suunnassa pintavaraus, jonka aiheuttama kenttä summautuu vastakkaisesti ulkoisen kentän kanssa, kuten kuvasta 3.2 voidaan päätellä. Kun sähköisesti tiheä kappale, kuten ihmisen, on sähköisesti harvemmassa väliaineessa, pintavarausten aikaansaama kenttä vaimentaa sisäistä kenttää. Vastakkaisessa tapauksessa, kuten väliaineessa olevassa ilmaontelossa, kenttä kasvaa.

Väliaineen sähköisiä ominaisuuksia kuvataan permittiivisyydellä  $\epsilon$ , joka kuvaa aineiden kykyä varastoida ja kuluttaa sähkökentän energiota. Permittiivisyys riippuu erityisesti väliaineen polarisaatioilmiöstä, ihmiskehossa tämä riippuu sekä kudostyyppistä että taajuudesta. Myös lämpötila vaikuttaa sähköisiin ominaisuuksiin. Ei-magneettisten materiaalien kuten biologisten materiaalien permeabiilisuus on puolestaan vakio  $\mu_0 = 4\pi \cdot 10^{-7}$  H/m (henryä per metri), eikä riipu kudostyyppistä tai taajuudesta.

Sinimuotoisen kentän kanssa vuorovaikutuksessa olevan materiaalin permittiivisyys voidaan esittää kompleksisessa muodossa

$$\epsilon = \epsilon_o (\epsilon_r - j\epsilon''_r) , \quad (3.1)$$

jossa  $\epsilon_o$  on tyhjön permittiivisyys. Reaaliosan termiä  $\epsilon'_r$  kutsutaan suhteellisen permittiivisyyden reaaliosaksi. Imaginaariosan termi  $\epsilon''_r$  on vastavasti suhteellisen permittiivisyyden imaginääriosana. Permittiivisyys riippuu sekä kudostyyppistä että taajuudesta. Permittiivisyyden kasvaessa johtavuus ja väliaineessa etenevä sähkömagneettisen aallon vaimennus kasvavat, jolloin myös häviöt kasvavat. Vapaat ionit sekä polarisaatiohäviöt vaikuttavat teholliseen johtavuuteen  $\sigma$ , joka määräytyy permittiivisyyden imaginääriosasta seuraavasti:

$$\sigma = \omega \epsilon_o \epsilon''_r . \quad (3.2)$$

Tehollista johtavuutta käytetään virrantiheyden ja ominaisabsorptionopeuden määrittelevissä kaavoissa, katso kappale 2.3. Seuraavassa kohdassa

esitetään kondensaattorin sähköisen sijaiskytkennän avulla miten häviöllisen kappaleen permittiivisyyss ja johtavuus liittyvät ominaisabsorptionopeuteen SAR.

### Häviöllinen levy sähkökentässä

Kuvan 3.3a esityksessä levymäinen häviöllinen kappale on asetettu kondensaattorin levyjen väliin. Kun kondensaattorin yli kytketään jännite  $U$ , syntyy kappaleessa teohäviö  $P$ . Levyjen väliin kytketty sinimuotoinen jännite aiheuttaa levyjen väliin sinimuotoisen sähkökentän  $E_i = U/d$ , joka suuruus riippuu levyjen välistä etäisyydestä  $d$ . Etäisyys  $d$  on pieni verrattuna levyjen pinta-alaan  $A$ .

Systeemiä kuvaaa sähköinen sijaiskytkentä (kuva 3.3b), jossa ideaalisen kondensaattorin  $C$  rinnalle on kytketty vastus  $R$  kuvaamaan todellisen kondensaattorin häviöllisyyttä. Vastuksen konduktanssi on  $G = 1/R$ . Kondensaattoriin syötetty virta  $I$  saadaan kertomalla jännite kondensaattorin ja vastuksen muodostamalla kompleksisella admittansilla  $G + j\omega C$  eli

$$I = (G + j\omega C)U \quad . \quad (3.3)$$

Toisaalta, yleinen levykapasitanssin yhtälö on

$$I = j\omega\epsilon\left(\frac{A}{d}\right)U = \left(j\omega\epsilon_o(\epsilon_r' - j\epsilon_r'')\frac{A}{d}\right)U = I_C + I_D, \quad (3.4)$$

missä  $\epsilon$  on väliaineen kompleksinen permittiivisyyss. Koska kaavan 3.2 mukaan johtavuus on  $\sigma = \omega\epsilon_o\epsilon_r''$ , saadaan sijoittamalla

$$I = \left(\sigma\frac{A}{d} + j\omega\epsilon_o\epsilon_r'\frac{A}{d}\right)U. \quad (3.5)$$

Jos verrataan yhtälöitä 3.3 ja 3.5, huomataan, että sijaiskytkennän konduktanssi  $G$  voidaan lausua  $G = \sigma A/d$ . Konduktanssi, joka on resistanssin käänteisarvo kuvaaa materiaalin johtavuutta ja toisaalta häviöllisyyttä. Kapasitanssi  $C$  puolestaan voidaan lausua yhtälön  $C = \epsilon_o\epsilon_r' A/d$  avulla ja se kuvaaa materiaalin kykyä varastoida energiaa, kuten edellä todettiin.

Jakamalla yhtälö 3.5 puolittain  $A$ :lla ja sijoittamalla  $U = E_i d$  saadaan lausekkeet johtavuusvirran tiheydelle  $J_C$

$$J_C = \frac{I_C}{A} = \sigma E_i \quad (3.6)$$

ja kapasitiivisen siirrosvirran tiheydelle  $J_D$

$$J_D = \frac{I_D}{A} = j\omega \epsilon_o \epsilon_r' E_i . \quad (3.7)$$

Näitä vastaavat virrat ovat johtavuusvirta  $I_C$  ja kapasitiivinen siirrosvirta  $I_D$ , katsa sijaiskyytkentä kuvassa 3.3b.

Vapaa johtavuus ei ole ainoa vaikuttava häviömekanismi dielektrisissä aineissa, kuten edellä todettiin. Toinen mekanismi on polaaristen hiukkasten vaste väärätelevään sähkökenttään ja myös tämän prosessin häviöihin kuluu energiaa. Johtavuusvirta  $I_C$  muodostuu ionivirrasta ja dielektrisiin dipolihäviöihin liittyvästä virrasta. Ionivirta on vallitseva johtavuusvirran komponentti pienillä alle 100 kHz taajuuksilla, kun taas dipolihäviöihin liittyvä johtavuusvirta on merkittävä suurilla radiotaajuuksilla. Johtavuusvirta on aina samassa vaiheessa kuin sähkökenttä.

Kapasitiivinen siirrosvirta  $I_D$  kuvaa sähkökentän välityksellä kulkevaa virtaa. Se on virta, joka kulkee esimerkiksi ilmaeristeisen kondensaattorin läpi. Siirrosvirta on 90 asteen vaihesiirrossa sähkökenttään nähdyn eikä aiheuta häviötä välialueessa.

Jakamalla  $I_C$   $I_D$ -llä saadaan virtojen suhteeksi yhtälön 3.4 mukaan

$$\frac{I_C}{I_D} = \frac{\epsilon_r''}{\epsilon_r'} = \tan \delta . \quad (3.8)$$

Tämä suhdeluku  $\tan \delta$  on dielektrinen häviökerroin, joka on siten myös johtavuusvirran ja siirrosvirran itseisarvon suhde. Johteilla  $\tan \delta >> 1$  ja eristeillä taas  $\tan \delta << 1$ . Alle 100 kHz taajuuksilla biologisen kudoksen häviökerroin on paljon suurempi kuin yksi, eli pienillä taajuuksilla kudokset ovat sähköisiltä ominaisuuksiltaan karkeasti rinnastettavissa johteissa.

siin. Suurilla taajuuksilla kudokset ovat pikemminkin häviöllisiä eristeitä, joissa ionihäviöiden lisäksi myös dielektriset polarisaatiohäviöt ovat merkitseviä.

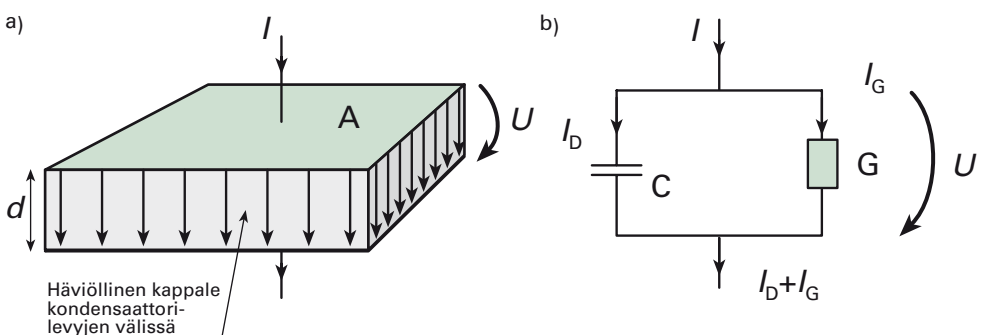
Seuraavassa lasketaan miten häviöllisen kappaleen permittiivisyyys ja johtavuus liittyvät ominaisabsorptionopeuteen. Ominaisabsorptionopeus on tärkeä suure 100 kHz – 10 GHz taajuuksilla. Ominaisabsorptionopeuden SAR ratkaisemiseksi muodostetaan kondensaattorin tehohäviön  $P$  lauseke

$$P = U^2 G = \left( \frac{U}{d} \right)^2 \sigma A d . \quad (3.9)$$

Sijoitetaan  $E_i = U/d$  ja  $V = Ad$ , jossa  $V$  on häviöllisen kappaleen tilavuus. Tehohäviön lausekkeeksi saadaan  $P = E_i^2 \sigma V$ , josta voidaan laskea SAR jakamalla tehohäviö levyn massalla  $m = V\rho$

$$SAR = \frac{P}{V\rho} = \sigma \frac{E_i^2}{\rho} , \quad (3.10)$$

missä  $\rho$  on levyn tiheys. Tässä saatatiin SAR:n määritelmän (kaava 2.27) mukainen tulos.



**Kuva 3.3 Levymäinen häviöllinen kappale sähkökentässä**

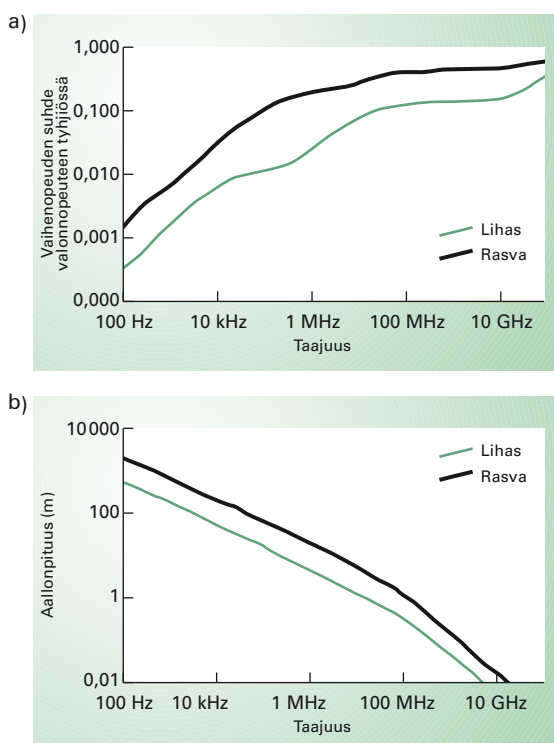
Kun kondensaattorilevyjen yli kytketään jännite, syntyy kappaleessa tehohäviötä. Tärkeät dosimetriset suuret, johtavuusvirran tiheys  $J_d$  ja SAR riippuvat häviöllisen kappaleen johtavuudesta  $\sigma$ , siirrosvirrantiheys  $J_g$  puolestaan riippuu suhteellisen permittiivisyyden reaaliosasta  $\epsilon_r$ .

- a) Levymäinen kondensaattori
- b) Kondensaattorin sähköinen sijaiskytkentä

## Dispersio ja polarisaatio biologisessa kudoksessa

Väliaineen sähköiset ominaisuudet muuttuvat taajuuden funktiona, jolloin ilmenee dispersiota, eli väliaineessa kulkevat eri taajuiset sähkömagneettiset aallot etenevät eri nopeuksilla (kuva 3.4). Vaihenopeus  $v$  määrittyy permittiivisyyden reaaliosasta siten, että  $v = c_0 / \sqrt{\epsilon_r}$ , missä  $c_0$  = valon nopeus  $2,998 \cdot 10^8$  m/s. Taajuuden kasvaessa molekyylit ja solukalvot eivät ehdi polarisoitua kunnolla, jolloin permittiivisyys pienenee ja johtavuus lisääntyy.

Biologisissa kudoksissa on useita erityyppisiä dipoli- ja Maxwellin–Wagnerin polarisaatioita, joihin liittyviä dispersioilmiöitä nimitetään



Kuva 3.4 Dispersio

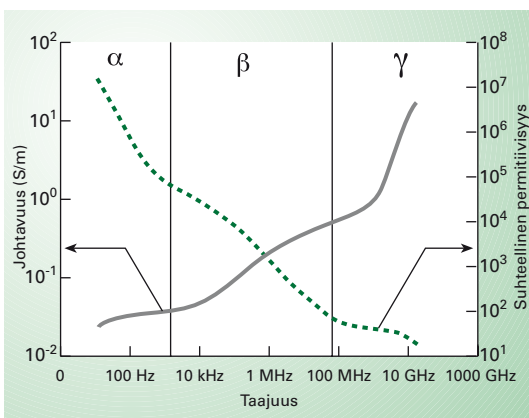
Sähkömagneettisen aallon vaihenopeus ja aallonpituuus muuttuvat rasva- ja lihaskudoksessa suhteellisen permittiivisyyden reaaliosan  $\epsilon_r'$  funktiona.

- a) Kun uusi dispersiomekanismi tulee kuvaan, eri taajuisten komponenttien vaihenopeuserot kasvavat ja laajakaistaisen kentän aaltomuoto särötyy entistä enemmän.
- b) Rasvakudoksessa aallonpituuus on suurempi kuin lihaskudoksessa, koska lihaksen suhteellinen permittiivisyys  $\epsilon_r'$  on suurempi kuin rasvakudoksen. Dosimetriassa aallonpituuksella alkaa olla fysikaalista merkitystä vasta yli 10 MHz suuremmilla taajuuksilla, eli kun aallonpituuus kudoksessa alkaa olla samaa suuruusluokkaa tai pienempi kuin kehon mitat.

taajuuden mukaan kasvavassa järjestyksessä  $\alpha$ -,  $\beta$ -,  $\delta$ - ja  $\gamma$ -dispersioksi. Taulukossa 3.1 on lueteltu kudoksissa vaikuttavat dispersio ja polarisaatioilmiöt, ja kuvassa 3.5 on havainnollistettu miten ne vaikuttavat maksakudoksen suhteellisen permittiivisyyden reaaliosaan ja johtavuuteen.

| Dispersio | Polarisoituva molekyyli tai solun osa | Mekanismi  | Taajuusalue  |
|-----------|---------------------------------------|--|--------------|
| $\alpha$  | Solukalvo                             | Vastaionien liike solun pinnalla<br>Sisempien kalvorakenteiden varautuminen  | 30–300 Hz    |
| $\beta$   | Solukalvo                             | Solukalvon varautuminen  | 1–10 000 kHz |
| $\delta$  | Sidotut vesimolekyyliit<br>Proteiinit | Dipolien orientoituminen<br>Proteiinien rajapintojen varautuminen ja sivuketjujen orientoituminen<br>Vastaionien liike proteiinien pinnoilla | 0,1–3 GHz    |
| $\gamma$  | Vapaat vesimolekyyliit                | Dipolien orientoituminen   | 10–100 GHz   |

Taulukko 3.1 Dispersio ja polarisaatio biologisissa kudoksissa eri taajuusalueilla



Kuva 3.5 Maksakudoksen sähköiset ominaisuudet

Eri dispersiomuotojen vaikutus näkyy muutoksina suhteellisen permittiivisyyden reaaliosassa  $\epsilon'_r$  ja johtavuudessa  $\sigma$ . (Gabriel ym. 1996).

## Debyen yhtälöt

Dipolipolarisaation sekä Maxwellin–Wagnerin polarisaation vaikutusta välialineen permittiivisyyden reaaliosaan ja johtavuuteen kuvataan yksinkertaisimmassa tapauksessa Debyen yhtälöillä

$$\epsilon'_L = \epsilon'_H + \frac{\epsilon'_L - \epsilon'_H}{1 + \left(\frac{f}{f_r}\right)^2} \quad (3.11)$$

$$\sigma = \sigma_L + \frac{2\pi f_r (\epsilon'_L - \epsilon'_H)}{1 + \left(\frac{f_r}{f}\right)^2} , \quad (3.12)$$

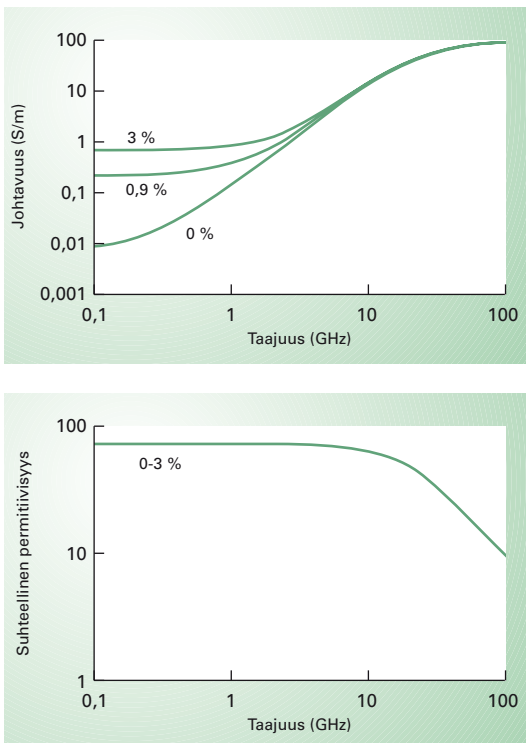
missä  $\epsilon'$  on suhteellisen permittivisyyden reaaliosaa pienillä (Low) taajuuksilla ja  $\epsilon'_H$  suurilla (High) taajuuksilla. Vastaavat johtavuudet ovat  $\sigma_L$  ja  $\sigma_H$ . Pientaajuinen johtavuus  $\sigma_L$  on sama kuin ionijohtavuus. Jos dielektrisia eli dipolihäviöitä ei ole, johtavuus ei muutu taajuuden muuttuessa. Joskus johtavuudella tarkoitetaan pelkästään ionijohtavuutta.

Dipolien kääntyminen vaikeutuu taajuuden lähestyessä relaksaatiotaajuutta  $f_r$ , minkä johdosta permittivisyyys alkaa laskea ja polarisaatiohäviöt kasvattavat tehollista johtavuutta. Kaukana relaksaatiotaajuudesta permittivisyyys ja johtavuus asettuvat vakiotasolle kunnes jälleen seuraava relaksaatiotaajuus lähestyy. Kuten yhtälöstä huomataan, johtavuuden ja permittivisyyden reaaliosan muutokset ovat fysikaalisesti toisiinsa sidonnaisia. Niiden välistä yleistä yhteyttä kuvataan Kramersin–Kronigin yhtälöiden avulla.

Debyen yhtälöt soveltuват hyvin veden sähköisten ominaisuuksien mallintamiseen, mutta biologisten aineiden yleisten sähköisten ominaisuuksien kuvaamiseen ne eivät sellaisenaan riitä. On huomioitava, että biologisissa aineissa on samoilla taajuusalueilla useita erilaisia polarisaatiomekanismeja limitäin, ja ne voivat vaikuttaa sähköisiin ominaisuuksiin loiventaen taajuusriippuvuutta. Tällaiset ilmiöt voidaan kuitenkin huomioida Debyen yhtälöiden pienellä laajennuksella. Kyseessä on tällöin niin kutsuttu Colen–Colen dispersiomalli.

### Veden sähköiset ominaisuudet ( $\gamma$ -dispersio)

Veden sähköisillä ominaisuuksilla on keskeinen vaikutus kudosten sähköisiin ominaisuuksiin. Kuvassa 3.6 on esitetty sekä veden johtavuus että suhteellisen permittivisyyden reaaliosa  $\epsilon'_r$  taajuuden funktiona eri suolapitoisuksilla. Ne noudattelevat hyvin yksinkertaista Debyen mallia. Alle 10 GHz taajuuksilla  $\epsilon'_r$  on likimain vakio ja sen arvo on noin 80. Yli 10 GHz taajuuksilla permittivisyyys alkaa pienentyä vesimolekyylien orientaation heikentyessä  $\gamma$ -dispersion vaikutuksesta. Dipolihäviöt ovat vallitsevia näin suurilla taajuuksilla, eikä suolapitoisuudella ole paljon merkitystä. Sen sijaan alle 1 GHz taajuuksilla veden johtavuus määräytyy pääasiassa siihen liuenneista ioneista. Alle 100 kHz taajuudella fysiologisen suolaliuoksen (0,9 %) johtavuus on noin 0,2 Siemensiä per metri (S/m).



**Kuva 3.6 Veden sähköisiä ominaisuuksia eri suolapitoisuksilla taajuuden funktiona**

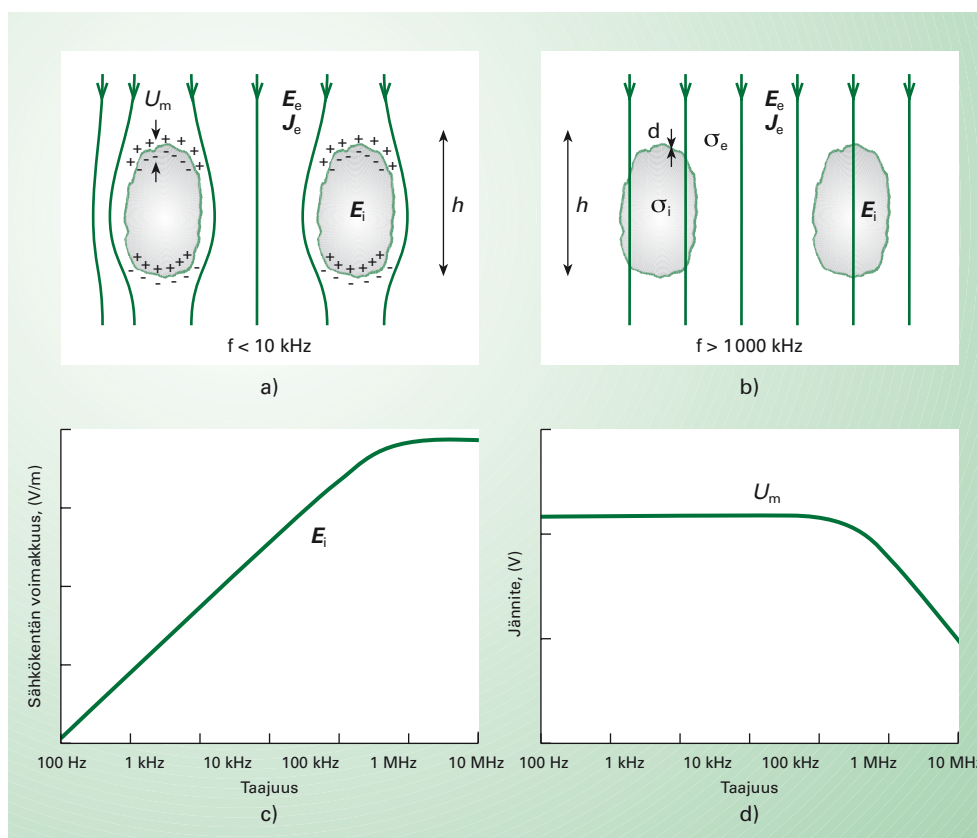
Kudosten oma fysiologinen suolapitoisuus on lähellä 0,9 prosenttia.

### Sähkökentän kytkeytyminen soluun ( $\beta$ -dispersio)

Solujen kalvorakenteet vaikuttavat suuresti kudosten sähköisiin ominaisuuksiin eri taajuuksilla. Solukalvon varautuminen on biologiselle materiaalille ominainen Maxwellin–Wagnerin polarisaation muoto, joka vaikuttaa keskeisesti kudosten sähköisiin ominaisuuksiin taajuusalueella 10 kHz – 10 MHz. Relaksatiotaajuuden alapuolella solukalvo eristää solun sisäosat johtavasta soluväliaineesta ja kalvo ehtii varautua jakson aikana, kuva 3.7. Varaukset kertyvät vastakkaismerkkisinä kalvon vastakkaisille puolille. Sähkökenttä solun sisällä jää pieneksi, koska solun yli vaikuttava jännite kytkeytyy kalvon yli. Voidaan myös ajatella, että solun ulkoisen kentän kannalta solut ovat tyhjiä aukkoja väliaineessa ei-vätkä siten osallistu virran kuljetukseen. Johtavuus määräytyy pääasiassa kudosnesteen johtavuudesta sekä siitä miten tiheästi solut on pakattu kudoksessa.

Relaksatiotaajuuden yläpuolella virta ja sähkökenttä tunkeutuvat kapasitiivisesti solun sisälle. Soluliman ja soluväliaineen resistiivisyys hidastaa jaksonaikaista varautumista ja induoitunut kalvojännite pienenee. Solukalvojen oikosulkeutuminen ilmenee siten, että 10–1 000 kHz taajuuksilla permittiivisyyden reaaliosa pienenee voimakkaasti ja johtavuus kasvaa hieman. Kyseessä on biologiselle materiaalille ominainen disperiomekanismi, jota nimitetään  $\beta$ -dispersioksi.

Johtavuus kasvaa, koska virta alkaa kulkeutua myös solun sisällä. Siten solurakenne ei enää suurilla taajuuksilla juurikaan vaikuta kudosten sähköisiin ominaisuuksiin eikä sähkökentän mikroskooppiseen jakau-



Kuva 3.7 Sähkökentän kytkeytyminen soluun pienillä ja suurilla taajuuksilla

- Kudoksiin induoituneen sähkökentän  $E_e$  ja virrantiheyden  $J_e$  kytkeytyminen soluun
- pienillä taajuuksilla
  - suurilla taajuuksilla
  - Soluun sisäisen sähkökentän muutos taajuuden funktiona.
  - Solukalvon yli kytkeytyneen jännitteen muutos taajuuden funktiona.

maan. Suhteellisen permittiivisyyden reaaliosaa on lähellä veden permittiivisyyttä ( $\approx 80$ ). Sitä pienentää hieman solulimassa ja soluväliaineessa olevat makromolekyylit ja pienet soluorganellit, jotka voidaan kuvitella pieniksi eristehiukkasiksi muuten hyvin johtavassa väliaineessa.

Solukalvon yli indusoitunut jännite  $U_m$  ja solun sisäinen sähkökenttä  $E_i$  voidaan esittää taajuuden  $f$  funktiona muodossa, kuvat 3.7c ja d.

$$U_m = \frac{K_1 h}{\sqrt{1 + \left(\frac{f}{f_r}\right)^2}} E_e \quad (3.13)$$

$$E_i = \frac{1,5}{(1 + \frac{1}{2\sigma_e \sigma_i})} \frac{f / f_r}{\sqrt{1 + \left(\frac{f}{f_r}\right)^2}} E_e \quad , \quad (3.14)$$

missä  $E_e$  on soluväliaineessa esiintyvä sähkökentän voimakkuus ja  $K_1$  on solun muodosta riippuva kerroin. Pallon muotoisilla soluilla  $K_1 = 0,75$  ja pitkulaisilla soluilla  $K_1 = 0,5$ . Solun pituus tai halkaisija kentän suunnassa on  $h$ . Käytännössä yhtälöt ovat käyttökelpoisia hyvin laajalla taajuusalueella muutamasta kymmenestä hertsistä gigahertseihin.

Soluväliaineen tyyppillinen johtavuus  $\sigma_e$  on noin 1 S/m ja soluliman johtavuus  $\sigma_i$  noin 0,5 S/m. Soluväliaineessa vaikuttava sähkökenttä  $E_e$  voidaan olettaa samaksi kuin keskimääräinen kudoksessa vaikuttava sähkökenttä silloin, kun solut ovat harvassa. Tiheän solukon tapauksessa solun vaikuttava kenttä  $E_e$  voi kuitenkin olla huomattavasti suurempi – jopa yli kymmenkertainen – kuin keskimääräinen kudoksessa vaikuttava kenttä. Keskimääräisen kentän määrätyymistä ulkoisista kentistä käsitellään makroskooppista dosimetriaa koskevissa kappaleissa 3.3–3.6.

Relaksatiotaajuus voidaan esittää pallomaisille soluille yksinkertaisessa muodossa

$$f_r = \frac{1}{\pi h c_m \left( \frac{1}{\sigma_i} + \frac{1}{2\sigma_e} \right)} \quad , \quad (3.15)$$

missä  $c_m$  on solukalvon kapasitanssi pinta-alayksikköä kohden (tyypillisesti  $1 \mu\text{F}/\text{cm}^2$ ). Relaksatiotaajuus muuttuu kääntäen verrannollisesti

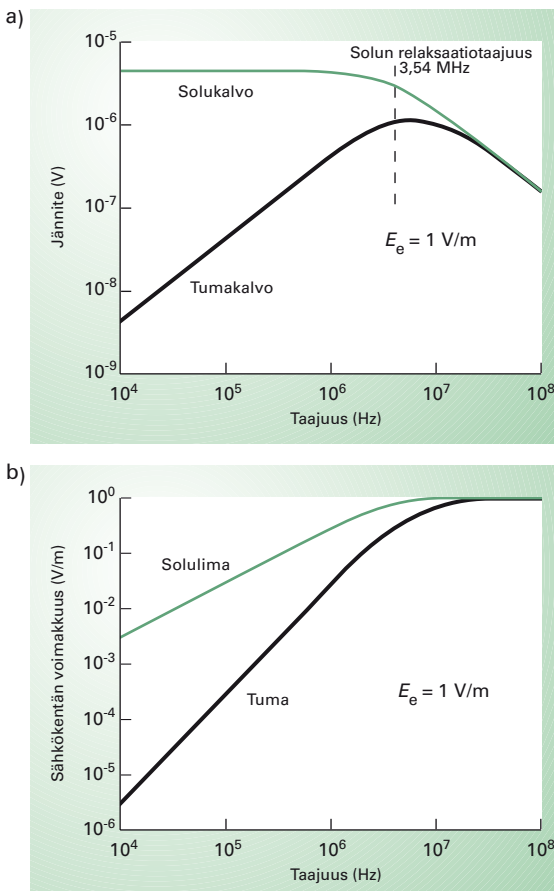
solun halkaisijaan  $h$ . Muun kuin pallon muotoisten solujen relaksatiotaajuudelle ei ole yksinkertaista analyyttistä yhtälöä, mutta yleisesti pätee, että relaksatiotaajuus muuttuu käänään verrannollisesti solun koon. Pitkulaisilla lihas- ja hermosoluilla relaksatiotaajuus voi olla niinkin pieni kuin 1 kHz, kun kenttä on hermo- tai lihassäikeen suuntainen.

Yhtälön 3.13 mukaan pitkulaisen solun kalvon yli indusoitunut jännite on  $U_m = E_e h / 2$  pienillä taajuuksilla, ja kalvon sisällä vaikuttava sähkökenttä on  $E_m = U_m / d = E_e h / 2d$ , missä  $d$  on kalvon paksuus (5–10 nm). Kalvon sisällä sähkökenttä vahvistuu kalvon paksuuden ja solun pituuden suhteessa, joka voi olla hyvinkin suuri luku, suurimmillaan jopa  $10^6$ . Pitkulaiset hermosolut ovat herkimpiä sähkökentän vaikutuksille. Niissä on jänniteherkkiä ionikanavia, jotka voivat aueta indusoituneen jännitteen aiheuttaman muodonmuutoksen seurauksena. Nämä yksinkertaisella mallilla voidaan selittää suhteellisen lyhyiden, alle yhden sentin pituisten hermosolujen stimuloituminen eli sähkövirran aiheuttama ärsyntyminen. Mekanismia selostetaan tarkemmin kappaleessa 4.4. Onmeksi jännite ei kuitenkaan kasva jatkuvasti solun pituuden kasvaessa, vaan solukalvojen vuotaminen kompensoi jännitteensä kasvua, kun solun pituus on yli yhden senttimetrin.

Kuvassa 3.8 on havainnollistettu miten sähkökenttä ja kalvon yli indusoitunut jännite muuttuvat taajuuden funktiona solussa ja tumassa. Pienillä taajuuksilla solukalvon jännite pysyy vakiona. Relaksatiotaajuuden yläpuolella jännite alkaa pienentyä likimain käänään verrannollisesti taajuuteen. Jännitteensä osalta solu toimii siten yksiateisena alipäästösudattimenä. Sähkökentän osalta käy päinvastoin; solu toimii ylipäästösudattimenä, joka suurilla taajuuksilla päästää kentän läpi.

Tuma, joka on yhtenäisen tumakalvon ympäröimä organelli solun sisällä, käyttää sähköisesti samalla tavalla kuin solu. Erona on vain se, että pienemmästä koosta johtuen relaksatiotaajuus on suurempi kuin solulla, ja soluväliaineessa vaikuttavan sähkökentän on korvannut kuvan 3.8b mukainen soluliman ylipäästökenttä. Kun taajuus on pieni, tuman sähkökenttä vaimenee voimakkaammin kuin soluliman kenttä, koska tumalla on kaksinkertainen suojaus. Tumakalvon yli kytkeytyvä jännite käyttää kuten kaistanpäästösudattimen läpäissyt jännite. Pienillä taajuuksilla jännite on pieni, koska soluliman kenttä on pieni, kun taas suurilla taajuuksilla tumakalvon kapasitiivinen oikosulkeutuminen pienentää jännitettä. Tumakalvon jännite saa maksimiarvon solun ja tuman relaksatiotaajuuksien välisellä taajuusalueella. Näiden tekijöiden vuoksi on ilmeis-

tä, että pienillä taajuuksilla tuman sisällä oleva DNA on paremmin suo- jattu sähkökentän suorilta vaikutuksilta kuin tuman ulkopuolella olevat makromolekyylit, erityisesti solukalvon reseptorit ja kanavaproteiinit.



**Kuva 3.8 Sähkökentän ja -virran kytkeytyminen solulimaan ja tumaan**

Tumakalvon yli indusoitunut jännite on suurimmillaan relaksatiotaajuuden lähellä. Pienillä taajuuksilla tumaan vaikuttava sähkökenttä jäi pieneksi, koska solukalvo toimii eristeenä. Suurilla taajuuksilla kapasitiivinen oikosulkeutuminen pienentää jännitettä.

### $\alpha$ -dispersio

Hyvin pienillä alle 100 Hz taajuuksilla ilmenee  $\alpha$ -dispersio, jonka vaikutuksesta permittiivisyys nousee hyvin suureksi. Arvellaan, että se voisi johtua siitä, että solukalvoon liittyvät sisemmät kalvorakenteet alkavat varautua, minkä seurauksena solukalvon kapasitanssi kasvaa noin kol-

mekymmenkertaiseksi. Toinen mahdollinen selitys perustuu niin kutsutujen vastaionien liikkumiseen sähkökentän vaikutuksesta solukalvon ulkopinnalla. Vastaionit ovat soluväliaineessa olevia ioneja, jotka ovat löyhästi sitoutuneet solukalvoon. Voidaan ajatella, että solua ympäröi ionipilvi, joka alkaa polarisoitua sähkökentän vaikutuksesta kentän määräämässä suunnassa. Tässä  $\alpha$ -dispersion mallissa ajatellaan, että koko solu polarisoituu kun taas  $\beta$ -dispersiossa solukalvo toimii polarisoituvana elementtinä.

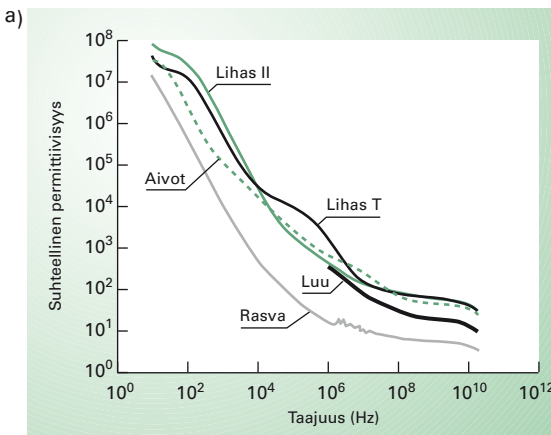
### $\delta$ -dispersio

Taajuusalueella 0,1–3 GHz vaikuttaa suhteellisen heikko  $\delta$ -dispersio, jossa Maxwellin–Wagnerin polarisaation tapaan proteiinien pinoille kertyy varauksia, kuva 3.9. Muita tällä taajuusalueella vaikuttavia polarisaatiomekanismeja ovat proteiinien varattujen sivuketujen taipumisesta aiheutuva polarisoituminen, varausten liikkuminen proteiinien pinoilla sekä sidotun veden dipolipolarisaatio. Makromolekyylien ja kalvorakenteiden pinnalla on kiinnityneenä muutaman molekyyliin paksuinen sitoutuneen veden kerros, joka käyttäätyy eri tavalla sähkökentässä kuin vapaa vesi. Kiinteään ainehiukkaseen sitoutunut vesimolekyyli ei pääse kääntymään yhtä liukkaasti kuin vapaassa vedessä, mistä seuraa, että sidotun veden relaksaatiotaajuus on huomattavasti alhaisempi kuin vapaan veden.

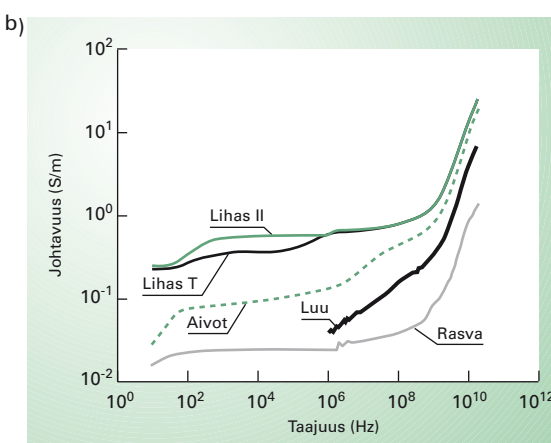
### Esimerkkejä kudosten sähköisistä ominaisuuksista

Kudosten sähköisistä ominaisuuksista on runsaasti mittaustietoja eri taajuksilta. Sovittamalla mittaustuloksiin Debyen ja Colen–Colen dispersionmallien pohjalta kehitettyjä teoreettisia laskelmia, on useimpien kudosten sähköisistä ominaisuuksista saatu kattavat tiedot laajalla taajuusalueella 10 Hz – 10 GHz. Teoreettisten mallien ja mittaustulosten vertailu auttaa myös selittämään niitä biofysikaalisia syitä, jotka ovat sähköisten parametrien taajuusriippuvuuden taustalla.

Tarkastelemalla kuvan 3.9 käyriä, voidaan havaita, miten erityyppisten kudosten sähköiset parametrit muuttuvat taajuuden funktiona. Nähdään, miten suhteellisen permittiivisyyden reaaliosa  $\epsilon'$  laskee ja johtavuus  $\sigma$  nousee uudelle tasolle aina, kun uusi dispersiomekansimi alkaa vaikuttaa. Johtavuuden kasvu selittää sen, miksi sähkömagneettisen aallon tunkeutumissvyys pienenee taajuuden kasvaessa.



**Kuva 3.9** Erityyppisten kudosten sähköisten parametrien riippuvuus taajuudesta



- a) Sekä vesipitoisten (lihas, aivo) että vähän vettä sisältävien (luu, rasva) kudosten johtavuus  $\sigma$  kasvaa taajuuden kasvaessa.
- b) Toisaalta näiden kudosien suhteellisen permittivisyyden reaaliosa  $\epsilon_r$  pienenee taajuuden kasvaessa. Lihakset sähköiset parametrit perustuvat Gabrielin tutkimusryhmän vuonna 1996 julkaisemiin mittauksiin, joissa sähkökenttää on ollut kohtisuorassa ( $\perp$ ) ja samansuuntainen (II) lihassynnä kanssa.

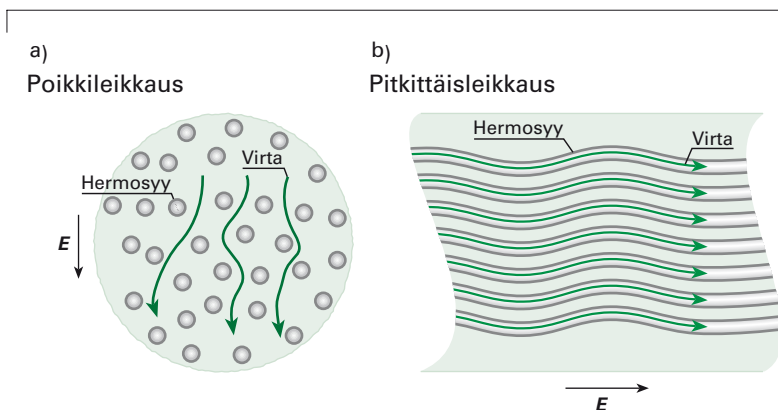
Kudokset voidaan jakaa kahteen sähköisiltä ominaisuuksiltaan selvästi poikkeavaan ryhmään. Vesipitoisten kudosten permittiivisyyys ja johtavuus voi olla yli kymmenkertainen verrattuna vain vähän vettä sisältäviin kudoksiin. Lihakset, aivot, iho ja useimmat sisäelimet ovat vesipitoisia, kun taas rasva ja luu ovat vähän vettä sisältäviä kudoksia.

Lihaskudosta on aikuisen ihmisen painosta 40–50 %, minkä johdosta se vaikuttaa eniten koko kehon keskimääräisiin sähköisiin ominaisuuksiin. Koko kehon keskiarvo johtavuudelle ja suhteelliselle permittiivisyydelle on noin kaksi kolmasosaa lihaskudokselle pätevistä arvoista. Tästä tiedosta on hyötyä, kun arvioidaan sähkö- ja magneettikenttien kytkettyistä ihmisen kehoon ja koe-eläimiin. Hyvin pienillä taajuuksilla (ELF-taajuuksilla 30–300 Hz) yleisesti käytetty koko kehon keskimääräinen johtavuus on 0,1–0,2 S/m.

Useimmat kudokset ovat isotrooppisia, mikä tarkoittaa sitä, että niiden sähköiset parametrit eivät riipu sähkönkentän suunnasta. Hermo- ja lihas-kudos ovat huomattavia poikkeuksia. Hermo- ja lihassolut muodostavat pitkistä hermo- ja lihassyistä, joiden sähköiset ominaisuudet riippuvat alle 10 MHz taajuuksilla sähkönkentän suunnasta, kuten kuvasta 3.10 nähdään. Erityisen huomionarvoista on, että johtavuus on huomattavasti pienempi syitä vasten kohtisuoraan kuin niiden suuntaisesti. Pienillä alle 10 kHz taajuuksilla aivokudoksen johtavuus voi olla jopa kahdeksankertainen hermosyiden suunnassa ( $0,8 \text{ S/m}$ ) verrattuna poikittaiseen suuntaan ( $0,1 \text{ S/m}$ ). Suuri johtavuus selittyy sillä, että syyn suuntainen kenttä aiheuttaa syiden välisessä soluväliaineessa virtuja, jotka eivät pahemmin mutkittele, koska soluväliaineessa ei ole virran kulkua häiritseviä kalvorakenteita. Syitä vastaan kohtisuorassa suunnassa solukalvot pakottavat virran mutkittelemaan syiden välistä, mikä lisää virran kulkumataa ja siten vähentää johtavuutta.

### 3.3 | Kenttien kytkeytyminen kehoon

Ulkoisten kenttien kehon sisälle indusoimat sähkökenttä sekä virranantiheys ovat keskeisimmät suuret sähkö- ja magneettikentän aiheuttamalle altistumiselle. Ne voidaan laskea Maxwellin yhtälöihin (luku 2) perustuvan sähkömagneettisen kenttäteorian avulla, jos ulkoinen sähkö- ja mag-



**Kuva 3.10 Virran kulku hermokudoksessa pienillä taajuuksilla**

Hermosyhyyn induoituneita virtuja, a) sähkökentän  $E$  suunnan ollessa kohtisuorassa hermosyty vastaan sekä b) sähkökentän ollessa syyn suuntainen. Syitä vastaan kohtisuorassa suunnassa solukalvot pakottavat virran mutkittelemaan syiden välistä, mikä lisää huomattavasti virran kulkumataa ja vähentää siten johtavuutta. Kun kenttä on hermosyyn suuntainen, virran tiellä on vähemmän esteitä. Relaksatiotaajuus on tällöin melko alhainen – pienimmillään 1 kHz.

neettikenttä tai niiden lähteenä olevat virrat tunnetaan. Esimerkiksi jos antennissa kulkevat virrat tunnetaan, niitä voidaan käyttää lähteinä, joiden perusteella antennin säteilemät kentät ja edelleen näiden kehoon indusoimat kentät voidaan laskea.

Sähkö- ja magneettikentän voimakkuus, taajuus, suunta ja jakauma vai-  
kuttavat suuresti altistumiseen. Kehon muodot ja kudosten sähköiset omi-  
naisuudet on tunnettava, samoin kuin altistumiseen vaikuttava ympäristö;  
esimerkiksi johtavalla maanpinnalla voi olla huomattava vaikutus. Myös  
itse keho vaikuttaa ulkoisiin kenttiin väärästämällä sähkökenttää ja hei-  
jastamalla sähkömagneettisia aaltoja. Ulkoisella kentällä tarkoitetaankin  
yleensä häiriintymätöntä kenttää, josta häirikkö eli kentälle altistuva ih-  
minen on poistettu.

Seuraavassa selostetaan sähkö- ja magneettikentien kytkeytyminen ke-  
hoon käyttämällä mahdollisimman yksinkertaisia analyyttisia laskenta-  
malleja, joiden antamaa kuvaaa täydennetään numeerisilla menetelmissä  
saaduilla tuloksilla. Analyttisten mallien oletuksena on, että kenttä on  
homogeeninen ja kehoa voidaan simuloida säännöllisen muotoisella ho-  
mogenisesta materiaalista muodostuneella kappaleella, esimerkiksi pal-  
lolla, paksulla tasolevyllä, pyörähdyssellipsoidilla tai sylinterillä. Kudok-  
siin indusoituva sähkökenttä voidaan tällöin esittää suhteellisen yksin-  
kertaisessa matemaattisessa muodossa. Tällaisten laskentamallien etu  
on siinä, että ne antavat suuruusluokkaltaan oikeita tuloksia, ja havainnol-  
listavat selkeästi niitä fysikaalisia tekijöitä, joista kytkeytyminen riippuu.  
Analyttisten laskentamallien ja numeeristen menetelmien lisäksi dosi-  
metrisissä tutkimuksissa käytetään kudosten sähköisiä ominaisuuksia jäl-  
jitelevästä nesteestä muodostuvia homogenisia fantomeja. Näiden sisäi-  
nen sähkökenttä, virrantiheys tai SAR voidaan mitata nesteessä liikutelta-  
valla mittapäällä (luku 10). Nämä saadaan esimerkiksi matkapuhelimien  
SAR-tasot testattua ja monien teoreettisten mallien pätevyys varmennettua.

### Tunkeutumissyyvyys eri taajuuksilla

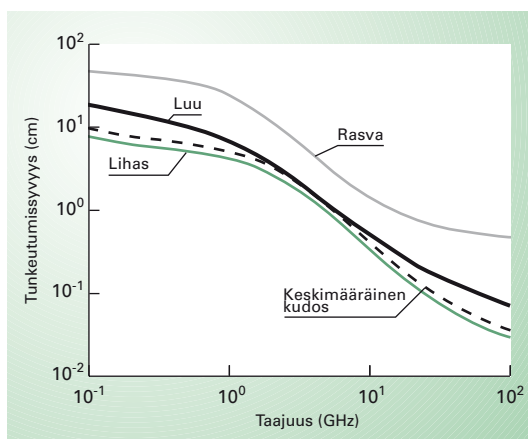
Karkea kuva sähkömagneettisten kenttien tunkeutumisesta ihmisen ke-  
hoon saadaan tarkastelemalla, miten sähkömagneettinen tasoaalto vai-  
menee kudoksissa taajuuden funktiona. Kuvassa 3.11 on esitetty aallon  
tunkeutumissyyvyys taajuuden funktiona eri kudostypeillä. Tunkeutumis-  
syyvyys määritellään sellaiseksi syvyydeksi, jolla sähkökenttä on vaimen-  
tunut  $0,37 (1/e)$  osaan ja ominaisabsorptionopeus  $0,137 (1/e^2)$  osaan  
pinnalla vallitsevista arvoista. Mitä heikommin kenttä vaimenee, sitä sy-

vemmälle se tunkeutuu. Tunkeutumissyyvyyden laskemista on selostettu kohdan 3.6 lopussa.

Kuvasta 3.11 nähdään, että vaimeneminen on vähäisempää rasvassa ja luussa kuin lihaksessa. Ero johtuu siitä, että lihaskudoksessa on enemmän vettä kuin rasva- ja luukudoksessa. Koska ihmisesä on eniten lihaskudosta ja sitä sähköisesti muistuttavia muita kudoksia, määrytyvät kudosten keskimääräiset sähköiset ominaisuudet lihaskudoksen mukaan. Keskimääräinen tunkeutumissyyvyys kudoksessa ei poikkea huomattavasti lihaskudoksen tunkeutumissyyvyydestä.

Tunkeutumissyyvys pienenee ja johtavuus kasvaa taajuuden kasvaessa. Kun alle 100 MHz taajuudella kentät tunkeutuvat kaikkialle kudoksiin, yli yhden GHz taajuuksilla kehon sisäosat ovat suhteellisen hyvässä suoressa. Yli 3 GHz taajuuksilla absorptio on jo varsin pinnallista. On kuitenkin huomattavaa, että alle 3 GHz taajuuksilla geometria vaikuttaa oleellisesti sähkömagneettisen aallon tunkeutumiseen kehon eri osiin, samoin kuin se, onko säteilylähde lähellä vai kaukana.

Dosimetrisia tarkasteluja varten on tarkoitukseenmukaista jakaa sähkömagneettinen spektri kolmeen eri osaan: kvasistaattiseen alueeseen (alle 30 MHz), resonanssialueeseen ja pinta-absorption alueeseen (yli 3 GHz).



**Kuva 3.11 Sähkömagneettisen aallon tunkeutumissyyvys eri kudoksissa**

Keskimääräinen tunkeutumissyyvyys kudoksessa (katkoviiva) noudattelee lihasten ominaisuuksia; niillä on eniten painoarvoa, kun katsotaan kehon keskimääräisiä absorptio-ominaisuksia. Nyrkisääntönä voidaan pitää, että koko kehon keskimääräinen johtavuus ja permittivisyyys on kaksi kolmasosaa vastaavista lihasten arvoista.

### 3.4 | Kvasistaattinen alue

#### Pintasähkökenttä

Kvasistaattisella alueella tarkoitetaan sähkömagneettisen spektrin alkupääätä, eli alle 30 MHz taajuuksia. Näillä taajuuksilla ulkoisen sähkömagneettisen kentän aallonpituuus on suuri - yli 10 metriä - verrattuna ihmiskehon pituuteen. Sähkökentän jakauma ei riipu merkittävästi taajuudesta eikä sähkökentässä esiinny aaltojen äärellisestä kulkua josta johtuvia vaihe-eroja. Kentät tunkeutuvat tehokkaasti myös kehon sisäosiin.

Kuvissa 3.12a–c on esitetty miten ihmisen keho muuttaa kvasistaattisella alueella ulkoista sähkökenttää, joka samalla indusoii heikkoja pituussuuntaisia sähkövirtoja kehon sisälle. Jos ihminen oikosulkeutuu maahan jaloistaan, niiden kautta purkautuu oikosulkuvirta  $I_g$ .

Kvasistaattisella alueella pintasähkökenttä on tärkeä suure, koska se on itsessään merkittävä altistustekijä ja siitä voidaan laskea sisäinen sähkökenttä. Pintasähkökentän laskemista helpottaa oleellisesti se, että kvasistaattisella alueella ihmisen keho voidaan olettaa ulkoisen kentän kannalta äärettömän hyvin johtavaksi kappaleeksi. Kudosten sähköiset ominaisuudet ja taajuus eivät vaikuta merkittävästi pintakenttään, joka suuntautuu aina kohtisuoraan ihmisen kehon pintaan vasten. Itse asiassa ihmisen voitaisiin korvata hyvin johtavalla metallifoliolla eikä se muuttaisi mitenkään tilannetta.

Kentänvoimakkuus on suurimmillaan pään ja ylävartalon alueella ja yleensä niissä kohdissa, joissa on teräviä ulokkeita. Kentän vahvistuskerroin  $k_{en}$ , eli pinnalla vaikuttavan kentänvoimakkuuden suhde häiriintymättömään kentänvoimakkuuteen, on suurimmillaan pääläen kohdalla ( $k_{en} \approx 18$ ). Kuvassa 3.12a ja b on havainnollistettu, miten johtava kap pale vetää sähkökentän vuoviivoja puoleensa ja miten ne tihenevät päättä kohden.

Ulkoinen sähkökenttä  $E_o$  synnyttää ihmisen iholle kentän tähdissä muutuvan pintavaraukseen  $Q_s$  ( $C/m^2$ ), joka voidaan lausua muodossa

$$Q_s = \epsilon_o k_{en} E_o , \quad (3.16)$$

missä  $\epsilon_o = 8,854 \cdot 10^{-12} \text{ F/m}$  on tyhjiön permittiivisyyys. Pintavaraus on peräisin kehon sisäpuolelta tulleista varauksista. Varauksen vaihtelu ajan

funktiona merkitsee sitä, että kehon pinnalle suuntautuu pintaa vasten kohtisuora virta, jonka tiheyden  $J_s$ , pintavaraukseen  $Q_s$  ja ihoa vastaan kohtisuoran sähkökentän  $k_{en} E_o$  välillä on yhteyks

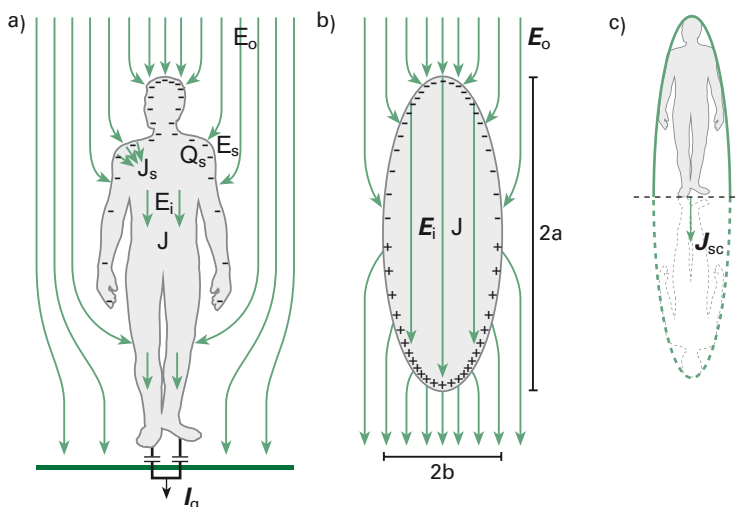
$$J_s = \frac{dQ_s}{dt} = \varepsilon_o k_{en} \frac{dE_o}{dt} . \quad (3.17)$$

Virrantiheys on suoraan verrannollinen sähkökentän muutosnopeuteen eli aikaderivaattaan.

Sinimuotoinen sähkökenttä voidaan esittää muodossa  $E(t) = \sqrt{2} E_o \cos(\omega t)$ , missä  $E_o$  on kentän tehollisarvo. Sähkökentän aikaderivaatta on  $dE/dt = \omega \sqrt{2} E_o \cos(\omega t + \pi/2)$  ja aikaderivaatan tehollisarvo on  $\omega E_o$ . Näin saadaan pintavirrantiheyden tehollisarvo sinimuotoisessa sähkökentässä lausuttua muodossa

$$J_s = j\omega \varepsilon_o k_{en} E_o , \quad (3.18)$$

jossa imaginääriyksikkö  $j$  ilmentää vain sitä, että virrantiheyden ja sähkökentän välinen vaihe-ero<sup>1</sup> on  $\pi/2$ .



Kuva 3.12 Pientaajuisen homogeenisen sähkökentän kytketyminen ihmiseen

Pientaajuisen homogeenisen sähkökentän kytketyminen ihmiseen a) ja ihmistä simuloi vaan pyörähdyssellsoi b) ja c). Ulkoisen värähtelevän sähkökentän vaikutuksesta syntyy värähtelevä pintavaraus  $Q_s$ , joka muodostuu kehon sisäosista tulevista värähtelevistä virroista  $J_s$ . Virtojen ylläpito vaatii heikon sisäisen sähkökentän. Jos ihminen on oikosuljettuna hyvin johtavaan maahan, syntyy alapuolelle peilikuva.

Yhtälöiden 3.17 ja 3.18 merkitys on siinä, että niiden avulla voidaan arvioida virrantiheyksiä ihonalaississa kudoksissa, kun tunnetaan ulkoisen pintakentän voimakkuus. Sinimuotoisen pintavirrantiheyden synnyttämä sähkökenttä ihon sisällä saadaan jakamalla pintavirran tiheys ihon johtavuudella. Jos kenttä on laajakaistainen, saadaan likimääräinen tulos ja jakamalla yhtälö 3.18 kyseisen taajuuskaistan keskimääräisellä johtavuudella. Tämä on mahdollista, koska kvasistaattisella alueella johtavuus muuttuu varsin vähän taajuuden funktiona.

### Sisäinen sähkökenttä pyörähdysellipsoidissa

Yksinkertaisen pyörähdysellipsoidimallin avulla (kuvat 3.12b ja c) voidaan tarkastella, miten homogeeninen sähkökenttä kytkeytyy ihmiseen pienillä taajuuksilla. Pyörähdysellipsoidi muodostuu sellaisesta materialista, jonka sähköiset parametrit vastaavat kudosten keskimääräisiä arvoja. Tällaisella mallilla saadaan keskimääräisestä kehon sisäisestä sähkökentästä arvio, jonka suuruusluokka on oikea. Pyörähdysellipsoidin puolikkaalla voidaan kuvata myös johtavaan maatasoon oiko sulussa olevaa ihmistä, kuva 3.12c. Peilikuveriaatteen nojalla johtava taso voidaan poistaa, jos alapuolelle sijoitetaan peilikuva. Jotavan maatason päällä häiriintymätön sähkökenttä suuntautuu aina kohtisuoraan maatasoa vasten eli kenttä on seisovan ihmisen pituusakselin suuntainen. Tällainen tilanne vallitsee esimerkiksi voimajodon alapuolella. Seuraavassa osoitetaan, että sähkökentän kytkeytyminen kehoon on suurimmillaan, kun ihminen seisoo johtavan tason päällä.

Akselin suuntainen ulkoinen sähkökenttä  $E_o$  aiheuttaa homogenisessa pyörähdysellipsoidissa samansuuntaisen sähkökentän  $E_i$

$$E_i = \frac{E_0}{C_1} . \quad (3.19)$$

Kentän vähenneyskerroin  $C_1$  saadaan yhtälöstä

$$C_1 = (\varepsilon_r - 1)N , \quad (3.20)$$

---

<sup>1</sup> Kompleksisen sähkösuureen itseisarvo kuvailee sinimuotoisen sähkösuureen tehollisarvoa tai amplitudia, ja kulma vaihekulma johonkin saman taajuiseen vertailusuureeseen nähdessä

missä  $\epsilon_r = \epsilon'_r - j\epsilon''_r$  on kudoksen suhteellinen permittiivisyys ja  $N$  on depolarisaatiokerroin, joka riippuu pyörähdysellipsoidin litistyneisyydestä ja kentän suunnasta. Depolarisaatiokerroin, joka voi saada arvoja väliltä 0–1, kuvaan sitä, miten hyvin sähkökentän induusoima pintavaraus suojaaa kehon sisäosia sähkökentältä. Sisäkentän vaimeneminen johtuu siitä, että johtava kappale polarisoituu eli positiivinen ja negatiivinen varaus keräätyvät eri päihin. Tällaisen pintavarauksen tuottama sekundaarinen kenttä kumoaa lähes kokonaan alkuperäisen ulkoisen kentän kehon sisällä, kuva 3.12b. Pieni jäähnöskenttä tarvitaan kuitenkin ulkoisen kentän tahdissa vaihtelevan pintavarauksen ylläpitämiseksi.

Kerroin  $C_1$  on kompleksinen, joten sisäisen ja ulkoisen kentän välillä valitsee vaihe-ero. Pituusakselin suuntaisen sähkökentän tapauksessa depolarisaatiokerroin saadaan kaavasta

$$N = \frac{1}{K^2} \left[ \frac{R}{2K} \ln \left( \frac{R+K}{R-K} \right) - 1 \right], \quad (3.21)$$

missä aksiaalisuhde  $R = a/b$ ,  $K = \sqrt{(R^2-1)}$ , kun  $2a$  on pyörähdysellipsoidin isoakseli ja  $2b$  pikkuakseli. Esitetty sähkökentän kytkeytymismalli pätee kohtuullisella tarkkuudella alle 10 MHz taajuuksilla.

Kytkeytymismallia voidaan yksinkertaistaa alle 1 MHz taajuudella, jolla  $|\epsilon_r| > 1$  ja  $\epsilon''_r >> \epsilon'$ . Koska johtavuus on  $\sigma = \omega \epsilon_o \epsilon''_r$ , saadaan kaavasta 3.19 laskettu sähkökenttä sievennettyä muotoon,

$$E_i = j \frac{\omega \epsilon_o E_o}{N \sigma}. \quad (3.22)$$

Kaava kuvastaa sitä, että ulkoisen kentän kannalta biologinen kappale käyttäätyy kuin hyvin sähköö johtava kappale. Keskeinen ilmiö on sisäisen kentän voimakas pieneneminen kehon pinnalle muodostuvien varusten johdosta.

Kappaleen koolla ei ole merkitystä sähkökentän kytkeytymiselle kvasisitaattisella alueella; vain sähköiset ominaisuudet, muoto ja suunta kenttään nähdyn ovat merkitseviä. Mitä suurempi on johtavuus, sitä suurempi pintavaraus ehtii keräätyä pinnalle ja sitä pienempi on kappaleen sisälle jäävä jäähnöskenttä. Depolarisaatioon vaikuttavia tekijöitä on esitetty seuraavassa:

- Mitä pitkulisempi kappaletta on sähkökentän suunnassa, sitä heikommin pintavaraus suojaaa sitä, ja sitä pienempi on depolarisaatiokerroin (taulukko 3.2).
- Kun sähkökenttä on levyä vasten kohtisuorassa, depolarisaatiokerroin on yksi. Tällainen tilanne on esimerkiksi kondensaattorin sisällä olevassa eristelevyssä.
- Maakontaktissa seisovan ihmisen pituus kaksinkertaistuu peilikuvalaan. Siten pyörähdyssellipsoidimallissa aksiaalisuhde kaksinkertaistuu ja sisäinen sähkökenttä lähes kolminkertaistuu.

Jos sähkökenttä suuntautuu vinosti ihmiseen, kenttä voidaan aina jakaa pituusakselin suuntaiseen ja sitä vasten kohtisuoraan komponenttiin sekä laskea niiden aiheuttamat sisäkentät vektoreina yhteen. Jatkossa tarkastellaan, jollei erikseen mainita, vain sellaista tilannetta, jossa sähkökenttä on kappalettaan pituusakselin suuntainen, koska tällöin altistuminen on suurimmillaan.

#### FAKTALAATIKKO 3.1

Maadoitetulla pyörähdyssellipsoidilla voidaan karkeasti mallintaa sellaista tilannetta, jossa altistutaan voimajohdon sähkökentälle seiso malla paljain jaloin johdon alla. Sähkökenttä voi 400 kV johdon alla olla suurimmillaan 10 kV/m, jolloin pyörähdyssellipsoidimallilla lasketti sisäinen kentänvoimakkuus on 10 mV/m ja keskimääräinen virantiheys noin 2 mA/m<sup>2</sup>. Alan kansainvälisten asiantuntijatoimikunnan ICNIRPin (International Commission on Non-Ionizing Radiation Protection) vuonna 1998 julkaisemien ohjeearvojen mukaan virantiheyden perusraja väestölle on 2 mA/m<sup>2</sup> ja viitearvo 50 Hz sähkökentälle on 5 kV/m. Tällä mallilla tehdyt laskelmat viittaavat siihen, että 400 kV voimajohdon alla sähkökentän indusoimat virantiheydet eivät ole kaukana väestön perusrajasta. Viitearvo siis ylittyy, mutta tärkeämpää on, että perusraja ei ylitä. Perusraja työntekijöille alle 1 kHz taajuuskilla on 10 mA/m<sup>2</sup> ja viitearvo 50 Hz sähkökentälle on 10 kV/m.

Yhtälön 3.22 mukaan sisäinen sähkökenttä pienenee johtavuuden lisäksi suoraan verrannollisesti taajuuteen. Se kuvastaa sitä, että pienillä taajuuksilla suojaava pintavaraus ehtii muodostua jakson aikana paremmin kuin suurilla taajuuksilla. Esimerkiksi 50 Hz taajuudella maadoitetun pyörähdyssellipsoidin (johtavuus 0,2 S/m) sisäisen ja ulkoisen kentän suhde on  $E_i/E_o = 1,0 \cdot 10^{-6}$ . Siten sisäinen sähkökenttä on sähköverkon käytöttaajuuksilla vain noin miljoonasosa ulkoisesta sähkökentästä. Vastaava

suhde maadoittamattomalle eli vapaassa tilassa olevalle ellipsoidille on  $0,36 \cdot 10^{-6}$ .

| Kappale                     | Depolarisaatio-kerroin | Kytkentä       | Sähkökentän suunta ja aksiaalisuhde R     |
|-----------------------------|------------------------|----------------|---|
| Ohut levy                   | 1                      | Heikko         | $E_0$ kohtisuorassa                       |
| Pitkä sylinteri             | 0,5                    | Heikko         | $E_0$ kohtisuorassa pituusakseliin nähdyn |
| Pallo                       | 0,333                  | Melko voimakas | R = 1                                     |
| Ellipsoidi vapaassa tilassa | 0,039                  | Voimakas       | $E_0$ pituusakselin suuntainen, R = 6,4   |
| Maadoitettu ellipsoidi      | 0,0137                 | Voimakas       | $E_0$ pituusakselin suuntainen, R = 12,8  |

Taulukko 3.2 Depolarisaatiokertoimia erimuotoisille kappaleille

Sähkökentän indusoima sisäinen sähkökenttä on käänään verrannollinen depolarisaatiokertoimeen  $N$  (kaava 3.21).  $R = a/b$  on aksiaalisuhde, missä  $a$  on pyörähdystellipsoidin isoakselin ja  $b$  pikkuakselin puolikas. Maadoittamattomalle ihmiselle voi käyttää tyypillisesti arvoja  $a = 0,9$  sekä  $b = 0,14$  ja maadoitetulle  $a = 1,8$  ja  $b = 0,14$ .

Taulukossa 3.3 on havainnollistettu kuinka sähkökenttä  $E_0$  sekä siitä riippuvat virrantiheys ja SAR kasvavat taajuuden funktiona taajuusalueella 50 Hz – 1 MHz. Virrantiheys ja SAR on laskettu kaavojen 2.29, 2.24 ja 2.25 avulla ( $Z_0 = 377 \Omega$ ). Virrantiheys kasvaa suoraan verrannollisesti taajuuteen, mutta sähkökenttä hieman hitaanmin, koska myös johtavuus kasvaa hieman taajuuden funktiona. Taulukossa esitetty kentänvoimakkuudet ovat samaa luokkaa kuin voimajohtojen läheisyydessä 10–50 m

|                         | Sähkökentässä 613 V/m<br>50 Hz 1 MHz |                      | Magneettikentässä <sup>1)</sup> 1,63 A/m<br>50 Hz 1 MHz |                      |
|-------------------------|--------------------------------------|----------------------|---|----------------------|
| $E_1$ (V/m)             | $6,21 \cdot 10^{-4}$                 | 6,21                 | $8,95 \cdot 10^{-5}$                                    | 1,79                 |
| $J$ (A/m <sup>2</sup> ) | $1,24 \cdot 10^{-4}$                 | 2,48                 | $1,79 \cdot 10^{-5}$                                    | $7,16 \cdot 10^{-1}$ |
| SAR (W/kg)              | $7,7 \cdot 10^{-11}$                 | $1,54 \cdot 10^{-2}$ | $1,60 \cdot 10^{-12}$                                   | $1,30 \cdot 10^{-3}$ |

1) keskikehon pinnalla

Taulukko 3.3 Taajuuden vaikutus kehon sisäiseen altistumiseen 613 V/m sähkökentässä ja 1,63 A/m magneettikentässä

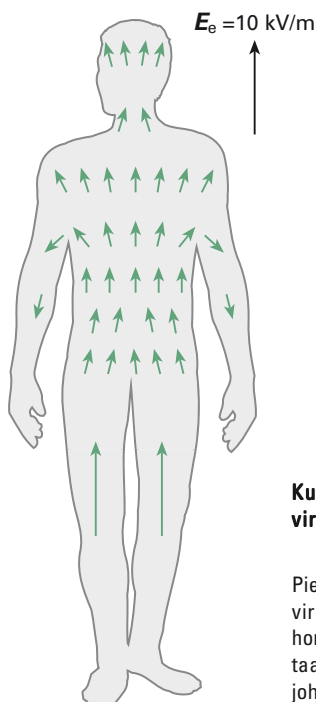
Laskentamallina on käytetty maadoitettua ihmistä kuvaavaa pyörähdystellipsoidia ( $N = 0,0137$ , taulukko 3.2). Sähkökenttä on pituusakselin suuntainen ja magneettikenttä sitä vasten kohtisuorassa. Johtavuus on 0,2 S/m taajuudella 50 Hz ja 0,4 S/m taajuudella 1 MHz. Kudosten keskimääräinen tiheys on 1 000 kg/m<sup>3</sup>. Kentänvoimakkuuksia vastaava ekvivalentti tehotiheys on 1 000 W/m<sup>2</sup>.

etäisyydellä esiintyvät kentänvoimakkuudet. Magneettikentän kytkemistä ihmiskehoon käsitellään myöhemmin.

### Realistisen muotoisia malleja sähkökentälle

Tarkempia tuloksia saadaan, kun käytetään sellaisia laskentamalleja tai fantomeja, joiden muoto ja kudosten sähköiset ominaisuudet ovat läheämänä todellisuutta. Kuvassa 3.13 on esitetty homogenisen sähkökentän synnyttämien virrantiheyksien suunta ja ahtautuminen. Mittaus on tehty maadoitettua ihmistä jäljitelevässä homogenisessa fantomissa. Mittaus on suoritettu pienikokoisella virrantiheysanturilla, jota liikutellaan kudos-ten keskimääräistä johtavuutta jäljitelevässä nesteessä. Kentän voimakkuus oli 10 kV/m ja taajuus oli 50 Hz.

Fantomilla mitatut keskimääräiset virrantiheydet ovat samaa luokkaa kuin yksinkertaisemmassa pyörähdyssellipsoidimallilla lasketut arvot. Virrantiheys vartalon keskialueella vaihtelee välillä 1–3 mA/m<sup>2</sup>, kun taas suurin virrantiheys 12 mA/m<sup>2</sup> on mitattu jaloissa. Jaloissa poikkileikkauspinta on pieni ja kokonaishirtti suuri, minkä johdosta virrantiheydet ovat huomattavasti suurempia kuin vartalon alueella.



Kuva 3.13 Sähkökentän (10 kV/m) induoimia virrantiheyksiä

Pientaajuisen 10 kV/m sähkökentän induoimia virrantiheyksiä ihmisen muotoja jäljitelevässä homogenisessa fantomissa. Sähkökenttää oletetaan vartalon suuntaiseksi ja jalat oikosuljetuiksi johtavaan maatasoon. (Kaune ja Forsythe 1985)

Eri tutkimuksissa jalkavirantiheydet ovat vaihdelleet välillä 11–19 mA/m<sup>2</sup>, kun ne on skaalattu 10 kV/m kentälle. Maasta eristettyinä ihmisen jalkavirrat ovat huomattavasti pienempiä kuin maadoitetun ihmisen - tyyppillisesti suuruusluokkaa 3 mA/m<sup>2</sup>.

Virran ahtautumista tapahtuu myös jonkin verran kaulassa, jossa sijaitsee sähköärsytykselle herkkä selkäydin. Kaulassa keskimääräinen virantiheys on suuruusluokkaa 2–5 mA/m<sup>2</sup> (10 kV/m) eikä riipu merkittävästi jalkojen ja maan välistä eristyksestä. Kaulavirrat eivät ole juuri kaan suurempia kuin jaloissa kulkevat virrat.

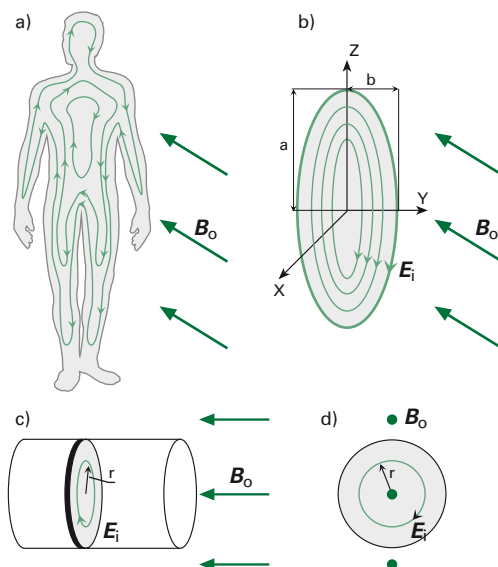
Tarkinta dosimetrista tietoa saadaan ihmisen muotoja ja eri kudosten sähköisiä ominaisuuksia jäljitelevistä heterogeenisista laskentamalleista, joissa resoluutio alkaa olla niin hyvä, että kudosten heterogeenisuuden vaikutus tulee hyvin esiin. Esimerkiksi oikosuljetun ihmisen nilkoissa paikalliset virantiheydet ovat heterogenisten mallien perusteella olleet 50 Hz taajuisessa 10 kV/m kentässä jopa 170 mA/m<sup>2</sup> eli lähes satakertaiset keskimääräisiin virantiheyksiin nähden. Pienen poikkipinta-alan lisäksi ahtautumista lisää se, että hyvin johtavien kudosten osuus nilkassa on suhteellisen pieni verrattuna huonosti johtavaan luuhun ja virrat pyrkivät ahtautumaan hyvin johtaviin kudoksiin. Vartalon ja kaulan alueella lasketut paikalliset huippuvirantiheydet ovat olleet 20–50 mA/m<sup>2</sup>.

Näiden lukuarvojen perusteella voisi päättää, että virantiheys 400 kV voimajohdon alla ylittäisi moninkertaisesti väestörajan 2 mA/m<sup>2</sup>. On kuitenkin huomattava, että huippuvirantiheydet eivät anna täysin oikeaa kuvaaa altistumisesta, vaan paikallisia virtahuippuja on laskennassa jonkin verran syytä tasoittaa keskiarvoistamalla. Kudosien johtavuusvaihtelut aiheuttavat enemmän vaihtelua virantiheydes-sä kuin indusoituneessa sähkökentässä, joka on hermostimulaation kannalta kriittisempi altistumissuure. ICNIRPin suosituksessa virtahuippuja tasoitetaan määrittämällä virantiheyden keskiarvo 1 cm<sup>2</sup> suuruisen pinnan keskiarvona. Lisäksi keskustelua on käyty siitä, pitäisikö virantiheyttä rajoittaa vain keskushermoston toiminnan kannalta keskeisissä kudoksissa, joita ovat erityisesti aivot, selkäydin ja silmän verkkokalvo. Uusimpien laskelmien mukaan näissä kehon osissa keskiarvoistettu virantiheys 10 kV/m ja 50 Hz kentässä on noin 2 mA/m<sup>2</sup>, eli lähellä suositeltua väestörajaa. Radiotaajuusaluella virran ahtautuminen aiheuttaa raajoissa paikallisia tehotihenty-miä ja lämpenemistä, ja aihetta käsitellään lisää hieman myöhemmin, kuva 3.16.

## Magneettikentän kytkeytyminen ihmiseen

Kehon lävistävä ajan funktioina muuttuva magneettivuo indusoi Faraday lain (luku 2) perusteella kehoon kiertävän sähkökentän ja sitä kautta pyörrevirtoja. Niiden voimakkuus on suoraan verrannollinen ulkoisen kentän muutosnopeuteen. Kudokset eivät vääristä alkuperäistä magneettikenttää, koska niissä ei ole merkittäviä määriä magneettisia materiaaleja. Myöskään pyörrevirtoihin liittyvä sekundaarinen magneettikenttä ei kvasistaattisella alueella häiritse merkittävästi, koska johtavuus ei ole niin suuri, että virrat ahtautuisivat pintaosiin. Kuvassa 3.14 on esitetty miten magneettikenttä kytkeytyy erilaisiin biologisesta aineesta muodostuviin kappaleisiin.

Yksinkertaisen pallomallin avulla voidaan havainnollistaa sähkömagneettisen induktiolain fysikaalista perustaa. Lasketaan palloon induoitunut sähkökenttä  $E_i$  poikkileikkaustasossa, joka on kohtisuorassa muuttuvaa magneettikenttää  $B_o$  vasten ( $r$ -säteinen ympyrä, kuva 3.14d). Ympyrän läpi menevä magneettivuo on  $\Phi = \pi r^2 B_o$ . Faradayin lain mukaan induktiojännite  $U$  on suoraan verrannollinen magneettivuoon muutosnopeuteen  $U = -d\Phi/dt$ . Ympyrän kehällä induktiojännite on  $U = 2\pi r E_i$ , missä  $E_i$  on indusoituneen sähkökentän voimakkuus. Näistä



**Kuva 3.14 Pientaajuisen magneettikentän kytkeytyminen biologisiin kappaleisiin**

Pientaajuisen magneettikentän kytkeytyminen a) ihmiseen, b) pyörähdyssellipsoidiin, c) sylinteriin ja d) palloon .

yhtälöistä voidaan ratkaista indusoitunut sähkökenttää:

$$E_i(r) = -\frac{d\Phi/dt}{2\pi r} = -\frac{r}{2} dB_o/dt . \quad (3.23)$$

Indusoitunut sähkökenttä saa maksimiarvonsa pallon pinnalla ja menee nollaksi keskellä. Pallon sisäosiin mentäessä indusoitunut kenttä pienenee, koska tason lävistävä magneettivuo  $\Phi$  pienenee. Samalla tavoin lasketaan sylinteriin indusoitunut sähkökenttä, kun magneettikenttä on samansuuntainen kuin sylinterin akseli. Yhtälössä 3.23 pallon säde korvautuu vain sylinterin säteellä. Yhtälö on myös voimassa silloin kun sylinteri lyhenee ohueksi leikkeeksi. Tällaisella pyöreällä levymallilla, voidaan laskea soluviljelmissä yleisesti käytettyyn petrimaljaan indusoitunut sähkökenttä.

Sinimuotoiselle magneettikentälle voidaan käyttää kompleksista esitysmuotoa, josta sinimuotoiset muuttujat on pudotettu pois ja tehdään sijoutus  $dB/dt = j\omega B_o$  (tehollisarvo) ja saadaan

$$E_i(r) = -j \frac{1}{2} \omega r B_o . \quad (3.24)$$

Indusoitunut sähkökenttä on suoraan verrannollinen taajuuteen. Pallomalli soveltuu päähän ja aivoihin kohdistuvan altistumisen arviointiin, jolloin sopiva halkaisija on noin 15 cm.

Pyörähdyssellipsoidimalli soveltuu parhaiten keskivartalon alueella esiintyvien kentänvoimakkuuksien arviointiin. Sopivat mitat ovat  $a = 0,9$  m,  $b = 0,14$  m (aksialisuhde  $R = 6,4$ ). Kytkeytyminen on voimakkainta silloin, kun magneettivuo läpäisemä poikkipinta on mahdollisimman suuri eli kun magneettikenttä on pituusakselia vasten kohtisuoran xy-tason suuntaisen, kuva 3.14b. Pyörähdyssellipsoiin induoituneen sähkökentän yhtälöt ovat yleisessä tapauksessa muotoa

$$E_i(y) = -y \frac{a^2}{a^2 + b^2} \frac{dB_o}{dt} \quad (3.25)$$

ja sinimuotoiselle kentälle muotoa

$$E_i(y) = -j\omega \cdot y \frac{a^2}{a^2 + b^2} B_o \quad . \quad (3.26)$$

Kenttä on suurimillaan pinnalla ( $y = b$ ) ja nolla keskellä ( $y = 0$ ). Pääakslien olleessa yhtä suuret ( $a = b$ ) saadaan sama ratkaisu, joka edellä johdettiin palolle. Täysikasvuisen ihmisen aksiaalisuhde  $a/b$  on niin suuri, että keskialueella pintakenttä on hyvällä tarkkuudella

$$E_i(y) \approx -b \frac{dB_o}{dt} \quad . \quad (3.27)$$

ja sinimuotoiselle kentälle voidaan tämä lauseke kirjoittaa muotoon

$$E_i(y) \approx -j\omega b B_o \quad . \quad (3.28)$$

Yleisenä säätönä voidaan sanoa, että magneettinen kytkentä riippuu eniten kappaleen leveydestä  $b$ . Pituutta  $a$  venyttämällä saadaan induktio-kenttä lisääntymään vain korkeintaan kaksinkertaiseksi. Tehokkaammin magneettikenttä kytkeytyy mahdollisimman pallomaisiin ja sähkökenttä mahdollisimman pitkulaisiin kappaleisiin.

Sähkökentän yhteydessä esitetyn taulukon (taulukko 3.3) arvoista voidaan päätellä, että tasoalto-olosuhteissa ( $E/H = 377 \Omega$ ) sähkökenttä kytkeytyy voimakkaammin kehoon kuin magneettikenttä. Esimerkiksi oikosuljetun pyörähdyssellipsoidin (kuva 3.12c) tapauksessa ulkoisen sähkökentän aiheuttama sisäinen sähkökenttä on kertoimella 3,5–7 suurempi kuin magneettikentän aiheuttama maksimikenttä kehon pinnalla. Kappaleen pyöristyessä magneettinen kytkentä kasvaa suhteessa sähköiseen kytkentään. Koon kasvaessa sähkökentän induusoima sisäinen kenttä pysyy vakiona kappaleen koosta huolimatta, jos muoto ei muutu, kun taas magneettikentän induusoima kenttä kasvaa lineaarisesti. Faradayn lain mukaan suurikokoinen kappale kerää suuremman magneettivuon kuin pienikokoinen kappale.

Anatomisilla laskentamalleilla on havaittu, että magneettikentän induosimat paikalliset virrantiheydet voivat olla 2–9 kertaa suurempia kuin pyörähdyssellipsoidimallin antamat pintavirrat. Esimerkiksi  $500 \mu\text{T}$  homogeeninen magneettikenttä indusoi  $50 \text{ Hz}$  taajuudella pyörähdyssellipsoidin pinnalle suurimillaan noin  $4,4 \text{ mA/m}^2$  virrantiheyden, kun taas realistiset heterogeenisten laskentamallien antamat arvot ovat olleet hu-

mattavasti yli  $10 \text{ mA/m}^2$  ja jopa  $40 \text{ mA/m}^2$ . Virrantiheydet ovat suurimillaan kainalokuopissa sekä jalkojen ja vartalon liittymäkohdissa, joissa virran suunnassa tapahtuu äkillisiä muutoksia. On kuitenkin huomattava, että keskushermoston toiminnan kannalta tärkeissä kudoksissa (ai-vot, selkäydin) maksimi virrantiheys on vain noin  $3 \text{ mA/m}^2$ , kun käytetään ICNIRPin suosittelemaa keskiarvoistusta  $1 \text{ cm}^2$  suuruisen pinta-alkion yli.

Magneettivuon tihys  $500 \mu\text{T}$  on tärkeä vertailuarvo, koska se on ICNIRPin suosittelema ja EU:n direktiiveissä annettu viitearvo rajoitettaessa työntekijöiden altistumista magneettikentälle. Viitearvo on johdettu siten, että virrantiheyden perusraja  $10 \text{ mA/m}^2$  ei ylityisi. Koko väestöä koskevat ohjearvot ovat  $100 \mu\text{T}$  ja  $2 \text{ mA/m}^2$ .

Suurin osa käytännössä esiintyvistä magneettikenttäaltistumisista tapahtuu epähomogenisessa lähikentässä, joissa magneettikentän lähde on alle metrin päässä kehosta. Tällaisessa tapauksessa virrantiheydet ovat huomattavasti pienempiä, kuin homogenisessa kentässä. Realistisia altistumisarvioita saadaan vain sellaisilla laskentamalleilla, joissa magneettikentän jakauma kehon kohdalla on huomioitu oikein. Usein voidaan määrittää magneettikentän keskiarvo pään ja vartalon avulla ja verrata sitä ohjearvoon. Silloin kun lähde on hyvin lähellä – alle 20 cm etäisyydellä – on arvioitava virrantiheys laskennallisesti.

### Ominaisabsorptionopeus kvasistaattisella alueella

Kvasistaattisen alueen yläpäässä taajuuksilla  $100 \text{ kHz} - 30 \text{ MHz}$  ominaisabsorptionopeus SAR tulee lämpövaikutusten myötä merkittäväksi altistumista kuvaavaksi suureksi. Paikallinen SAR saadaan suoraan sähkökentästä aiemmin esitetyn mukaisesti:

$$SAR = \frac{\sigma E_i^2}{\rho} . \quad (3.29)$$

Homogenisen sähkökentän tapauksessa keskimääräinen SAR on pyörähdyssellipsoidissa sama kuin paikallinen huippuarvo,

$$SAR_{wba,e} = \frac{\sigma E_{i,e}^2}{\rho} , \quad (3.30)$$

missä  $E_{i,e}$  saadaan esimerkiksi yhtälöstä 3.26. Alaindeksi  $_{wba}$  viittaa koko kehon keskiarvoon (whole-body-average) ja alaindeksi  $_e$  (electric) sähköiseen kytkentään. Magneettinen kytkentä erotetaan alaindeksillä  $_{m}$  (magnetic).

Magneettisen kytkennän tapauksessa koko kehon keskimääräinen SAR on pyörähdyssellipsoidissa likimain viidesosa pinnalla esiintyvästä huippuarvosta, joten

$$SAR_{wba,m} \approx \frac{1}{5} \frac{\sigma E_{i,m}^2}{\rho} , \quad (3.31)$$

missä  $E_{i,m}$  saadaan esimerkiksi yhtälöstä (3.28).

Silloin, kun sähkö- ja magneettikenttä vaikuttavat samanaikaisesti, laskeetaan pääsääntöisesti ensin sähköisesti ja magneettisesti indusoituneet sähkökentän komponentit vektoreina yhteen ja vasta sitten SAR. Pyörähdyssellipsoidin keskimääräisen SAR:n saa kuitenkin laskea summaamalla yhtälöistä (3.30) ja (3.31) lasketut SAR-arvot yhteen symmetriasyistä johtuen.

Vaikka pyörähdyssellipsoidimalli ennustaakin suurin piirtein oikein tyyppiset virrantiheydet kehossa ja oikosulkuvirran jaloista maahan, keskimääräinen koko kehon SAR jää radiotaajuksilla noin viisi kertaa pienemmäksi kuin tarkemmillä malleilla saadut arvot, kuva 3.17. Tämä johtuu siitä, että pyörähdyssellipsoidimalli ei kunnolla kuvaan absorption lisääntymistä alaraajoissa, joissa sähkökentän aiheuttama virta altauuu. Erityisesti maadoitetun ihmisen nilkoissa on huomattavan suuri paikallinen absorptiohuippu eli tehotihentymä. Se voi olla jopa satakertainen keskimääräiseen koko kehon SAR-arvoon nähden.

## Oikosulkuvirta jaloissa

Kehon sisällä vaikuttavia virtuja on käytännön altistumistilanteessa mahdotonta mitata. Sen sijaan on suhteellisen helppo mitata sähkökentän indusoima kehon akselin suuntainen kokonaisvirta (luku 10), jonka perusteella voidaan arvioida paikallinen virrantiheys ja ominaisabsorptionopeus. Virta on suurimmillaan maahan oikosuljetun ihmisen nilkoissa, jossa virran ahtautuminen pienelle poikkipinta-alalle kasvattaa virrantiheyttä ja ominaisabsorptionopeutta. Oikosul-

kuvirtaa voidaan arvioida laskennallisesti pyörähdyssellipsoidimallin avulla.

Homogenisessa sähkökentässä johtavaan maatasoon oikosulussa olevan ihmisen jalkojen kautta kulkeva oikosulkuvirta  $I_{sc}$  on

$$I_{sc} = K_o h^2 f E_o , \quad (3.32)$$

missä  $h$  on ihmisen pituus ja  $K_o$  on vakio, jota seuraavassa kutsutaan virtavakioksi. Virtavakio voidaan määrittää mittamalla tai laskemalla. Homogenisen pyörähdyssellipsoidin tapauksessa tälle virtavakiolle voidaan johtaa lauseke

$$K_o = \frac{2\pi^2 \epsilon_o}{R^2 N} . \quad (3.33)$$

Keskikokoista miehelle aksialisuhde on  $R = 12,5$  ja virtavakion  $K_o$  arvoksi saadaan  $0,078 \text{ nA}/(\text{m}^2\text{HzVm}^{-1})$ . Tämä pyörähdyssellipsoidimallille laskettu arvo vastaa hyvin sekä realistisemmilla malleilla että mittauksissa saatuja arvoja. Ne ovat vaihdelleet välillä  $0,07$ – $0,108 \text{ nA}/(\text{m}^2\text{HzVm}^{-1})$ . Sopiva arvo keskikokoiselle ja -painoiselle miehelle on noin  $0,086 \text{ nA}/(\text{m}^2\text{HzV/m}^{-1})$ . Virtavakion arvo kasvaa hieman kehon paksuuden lisääntyessä. Jalkavirran vaikuttaa myös jalkojen ja maan välinen kontakti. Galvaanista kontaktia ei tarvita, vaan riittävä kontakti syntyy kapasitiivisesti esimerkiksi ohuiden kengänpohjien läpi. Kaavasta 3.32 nähdään, että oikosulkuvirta  $I_{sc}$  kasvaa suoraan verrannollisesti taajuuteen. Malli toimii 50 Hz taajuudelta aina 10–30 MHz taajuudelle.

## Leikemalli

Sähkökentän indusoiman virran ahtautumisen aiheuttamia tehotihentyisiä voidaan tarkastella kuvassa 3.15 esitetyn ihmiskehon dielektrisen leikemallin avulla, joka perustuu Säteilyturvakeskuksen tutkimuksiin. Tässä mallissa koko keho viipaloidaan leikkeisiin ja jokainen leike jaetaan homogenisiin kudosalueisiin. Läheenä voidaan käyttää esimerkiksi MRI-kuvauksista saatua dataa. Korkeuden funktiona muuttuva koko-naisvirta jakautuu leikkeissä homogenisille kudosalueille ja painottuu niiden johtavuuden mukaisesti. Leikkeen  $j$ -kudosalueessa  $ij$  kulkeva johtavuusvirta on

$$I_{ij} = \frac{\sigma_{ij} A_{ij} I_j}{\sqrt{\left(\sum_{i=1}^{nj} \sigma_{ij} A_{ij}\right)^2 + (\omega \sum_{i=1}^{nj} \epsilon_{ij} A_{ij})^2}} \quad , \quad (3.34)$$

missä

$I_j$  = kokonaisvirta leikkeessä j

$A_{ij}$  = kudosalueen pinta-ala

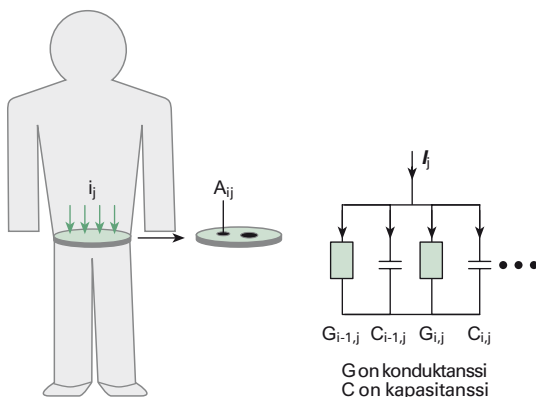
$\epsilon_{ij}$  = permittiivisyden reaaliosa

$\sigma_{ij}$  = johtavuus

$\rho_{ij}$  = tiheys (tyypillisesti  $1000 \text{ kg/m}^3$ ).

Kaava on johdettu siten, että jokainen homogeeninen alue leikkeessä korvataan kuvassa 3.15 esitettyllä vastuksesta ja kondensaattorista muodostuvalla sijaiskytkennällä. Vastuksen  $G_{ij}$  (konduktanssi  $G = 1/R$ ) läpi kulkeva johtavuusvirta  $I_{ij}$  liittyy ionijohtavuudesta ja dielektrisestä polarisaatiosta aiheutuviin häviöihin, joiden seurauksena tehoa absorboituu kudoksiin. Osa leikkeen läpi kulkevasta kokonaisvirrasta on kapasitiivista siirrosvirtaa, joka ei aiheuta absorptiota. Alle 10 MHz taajuudella tämän vaikutus on suhteellisen pieni.

Kun otetaan huomioon, että virrantihels  $J_{ij} = I_{ij}/A_{ij} = \sigma_{ij} E_{ij}$  ja sijoitetaan tästä saatu sähkökenttä SAR:n kaavaan (3.29), saadaan



**Kuva 3.15 Ihmisen dielektrinen leikemalli ja sen sähköinen sijaiskytkentä**

Ohut leike on jaettu homogeenisiin kudosalueisiin  $A_{ij}$ , jotka on korvattu vastuksista ja kondensaattoreista muodostuvalla sijaiskytkennällä. Korkeuden funktiona muuttuva virta  $I_j$  jakautuu leikkeessä likimain alueiden johtavuuden mukaan.

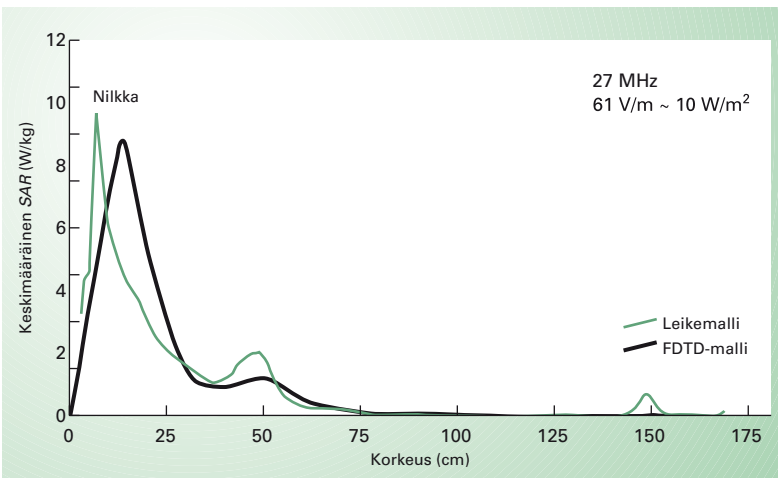
$$SAR_{ij} = \frac{I_{ij}^2}{\sigma_{ij}\rho_{ij}A_{ij}^2}, \quad (3.35)$$

missä  $SAR_{ij}$  on paikallinen SAR leikkeen  $j$  alueessa  $i$ . Koko kehoon absorboitunut teho saadaan kertomalla paikalliset SAR-arvot niitä vastaavilla kudosleikkeiden tilavuuksilla ja laskemalla näin saadut tehot yhteen.

Leikemalli antaa yhteyden paikallisen SAR:n ja vartalossa tai raajassa kulkevan kehovirran tai virran välille. Yhteys on kuitenkin vain likimääriinen. Mallissa on oletettu, että magneettikentän aiheuttama absorptio on pieni ja että kehossa ei esiinny merkittäviä poikittaissuuntaisia virtuja. Vertailut tarkempiin malleihin osoittavat, että ainakin maadoitetussa tapauksessa nämä oletukset ovat varsin hyvin voimassa aina 30 MHz taajuuskilulla. Suuremmilla taajuuksilla virta ahtautuu pintakerroksiin. Esimerkki 3.1 valottaa miten RF-sähkökentän nilkkaan indusoima virta lasketaan.

Lausekkeita (3.34) ja (3.35) tarkastelemalla voidaan päätellä, että SAR on suurimmillaan silloin kun virta ahtautuu pienellä poikkipinnalla hyvin johtaviin vesipitoisiin kudoksiin. Se näkyy selvästi kuvasta 3.16, jossa on esitetty leikemallilla ja FDTD-mallilla (Finite-Difference Time-Domain) laskettu keskimääriinen SAR maadoitetun ihmisen poikkipinnoilla eri korkeuksilla. Lähes 90 prosenttia tehosta absorboituu maadoitetun ihmisen jalkoihin ja maadoittamattomassakin tapauksessa noin 70 prosenttia. Suurin SAR arvo on nilkoissa, jossa leikkeen kesiarvo on noin 9 W/kg. Paikallinen maksimi syntyy nilkan lihakseen, jossa SAR on vieläkin suurempi, leikemallin mukaan 52 W/kg. Se on hyvin yhteensopiva tarkimpien FDTD-laskujen mukaan, joissa maksimi SAR on noin 40 W/kg. Syytällaisen tehohintymän syntymiseen juuri nilkassa on se, että siellä keho on kapeimmillaan ja lisäksi johtavien vesipitoisten kudosten (lihas, iho, jänteet) määrä on suhteellisen pieni verrattuna huonosti johtavaan luuhun.

Edellä esitetyt laskentaesimerkit osoittavat, että paikallinen SAR voi maadoitetun ihmisen nilkassa ylittää ICNIRPin perusajan 20 W/kg, vaikka sähkökentän viitearvo 61 V/m (10–400 MHz) ei ylitysikään. Raajojen suojaamiseksi liialliselta lämpenemiseltä ICNIRP suositteleekin, että taajuuksilla 10–110 MHz virta ei missään raajassa sasi ylittää työntekijöillä viitearvoa 100 mA ja muulla väestöllä viitearvoa 45 mA. Tarkimpien käytettäväissä olevien dosimetristen malleiden mukaan 100 mA virran aiheuttama paikallinen SAR on nilkassa 5–7 W/kg.



**Kuva 3.16 SAR korkeuden funktiona homogeenisessä 27 MHz sähkökentässä, kun jalat oikosulkeutuvat maahan**

Leiketasojen keskimääräinen SAR on laskettu käyttämällä Säteilyturvakeskuksen leikemallia ja FDTD-mallia (Chen ja Gandhi 1989). Sähkökentän voimakkuus on 61 V/m, jota vastaa ekvivalenttinen tehotiheys  $10 \text{ W/m}^2$ .

#### ESIMERKKI 3.1

#### Virtamallin soveltaminen homogeeniseen sähkökenttään

Oletetaan 1,75 m pituiseen ihmiseen kohdistuvan lyhytaaltoantennista tulevan sähkökentän ekvivalenttiseksi tehotiheydeksi altistusrajojen mukainen enimmäisarvo  $10 \text{ W/m}^2$  taajuudella 21,55 MHz. Sähkökenttä on pystypolarisoitu ja sen voimakkuus on  $61,4 \text{ V/m}$ . Ihminen seisoo täysin johtavalla maatasolla ja on galvaanisessa kontaktissa siihen. Edellä kuvatussa tilanteessa altistuminen on suurin mahdollinen. Tällöin kaavasta 3.32 ja virtavakiolla  $0,086 \text{ nA}/(\text{m}^2\text{HzV/m})$  saadaan molempien jalkojen kautta maahan kulkevaksi oikosulkuvirraksi  $I_{sc} = 348 \text{ mA}$ , josta yhdelle jalalle tulee  $174 \text{ mA}$ . Sijoittamalla tämä arvo kaavaan 3.35 ja olettamalla nilkan teholliseksi poikkipinta-alaksi  $10 \text{ cm}^2$ , johtavuudeksi  $0,65 \text{ S/m}$  ja tiheydeksi  $1 \text{ g/cm}^3$  saadaan nilkan paikalliseksi SAR:aksi noin  $47 \text{ W/kg}$ , joka on yli kaksoi kertaa suurempi kuin paikallisen SAR:n enimmäisarvo  $20 \text{ W/kg}$ . Tästä havaitaan, että vaikka ulkoisen sähkökentän voimakkuus ei ylitä enimmäisarvoa  $61,4 \text{ V/m}$ , paikallinen SAR on huomattavasti enimmäisarvoa suurempi. Raja-arvo  $20 \text{ W/kg}$  saavutetaan, kun noin  $100 \text{ mA}$  virtaa kulkee sekä jaloissa tai käissä, sillä ranteen ja nilkan tehollinen poikkipinta-ala voidaan arvioida yhtä suuriksi.

### 3.5 | Resonanssialue (30–3 000 MHz)

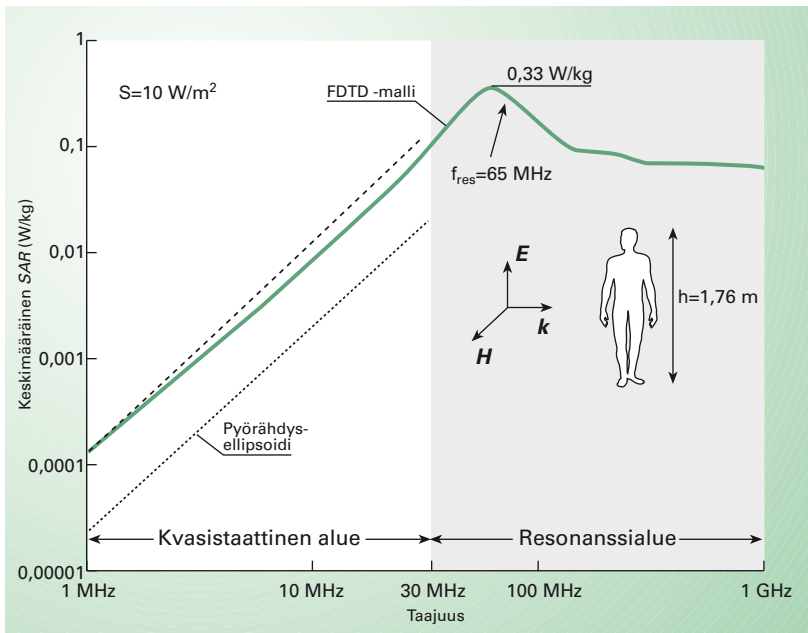
Yli 30 MHz taajuuksilla johtavuusvirta ja kapasitiivinen siirrosvirta aiheuttavat niin voimakkaan sekundaarisen magneettikentän, että sähkökenttä alkaa vaimentua kehon sisäosissa ja virta ahtautuu kehon pintaosiin. Lisäksi aallonpituus kudoksessa on alle metrin, eivätkä kehon mitat ole enää pieniä tähän verrattuna. Kehon sisällä alkaa edetä vaimenevia aaltoja, jotka sopivilla taajuuksilla resonoivat keskenään. Koko kehon resonanssi syntyy silloin, kun sähkökenttä on pituusakselin suuntainen ja ihmisen pituus on vapaassa tilassa likimain puolet aallonpituudesta. Tällöin keho absorboi tehokkaimmin energiaa sähkömagneettisesta aallosta, kuva 3.17. Resonanssien ja virran ahtautumisen johdosta syntyy tehotihentymiä eli kuumia pisteyitä kehon sisäosiin.

Seuraavassa havainnollistetaan eri lähteistä saatujen dosimetristen laskentatulosten avulla, miten sähkömagneettiset kentät kytkeytyvät ihmiseen resonanssialueella. Yksinkertaisia analyttisiä laskentamalleja ei voida hyödyntää, vaan sisäinen sähkökenttä ja SAR on käytännössä laskettava Maxwellin yhtälöihin perustuvien numeeristen mallien avulla. Ihminen vastaanottaa tehoa sähkömagneettisesta aallosta varsin samalla tavalla kuin häviöllinen dipoliantenni, joka on parhaiten vireessä silloin kun se on puolen aallon mittainen.

#### Tasoallon absorboituminen koko kehoon

Kuvassa 3.17 on esitetty FDTD-menetelmällä (kappale 2.5) laskettu koko kehon SAR taajuuden funktiona, kun aikaiseen ihmiseen kohdistuu vatsaa kohden etenevä tasoaalto ( $10 \text{ W/m}^2$ ). Sähkökenttä on kehon pituusakselin suuntainen ja magneettikenttä on horisontaalinen. Vertailun vuoksi kuvaan on piirretty homogeenisella pyörähdyssellipsoidimallia laskettu arvoja. Tasoaallon tehotiheys  $10 \text{ W/m}^2$  on työntekijöitä koskeva ICNIRPin ohjearvo taajuusalueella 10–400 MHz. Kun tehotiheys mitataan sähkökentän perusteella, viitearvo on  $61 \text{ V/m}$ , ja jos tehotiheys mitataan magneettikentän perusteella, viitearvo on  $0,16 \text{ A/m}$ .

Kuvan käyristä voidaan tehdä useita yleisiä päätelmiä. Alle 30 MHz taajuuksilla SAR nousee likimain suoraan verrannollisesti taajuuden neliöön, kuten vertailu neliöllisesti nousevaan katkoviiavan osoittaa. Kun ihmisen pituus on likimain puolet aallonpituudesta, syntyy voimakas resonanssiaabsorptio. Maadoittamattoman  $1,76 \text{ m}$  pitkän ihmisen



**Kuva 3.17 Koko kehon keskimääräinen SAR taajuuden funktiona**

Sähkömagneettinen tasoalalto ( $10 \text{ W/m}^2$ ) osuu maasta sähköisesti eristettyyn aikaiseen. Heterogeenisella FDTD-mallilla laskettu koko kehon keskimääräinen SAR on esitetty yhtenäisellä viivalla (Dimbylow 1997). FDTD-käyrän päälle piirretty katkoviiva kuva ideaalista taajuuden funktiona neliöllisesti nousevaa SAR-käyrää. Vertailun vuoksi kuvaan on piirretty pyörähdyseellipsoidimallilla laskettu SAR. FDTD-mallissa keho on jaettu magneettikuvien perusteella kuutiomaisiin vokseleihin, joissa sivun pituus oli 2 mm. Laskennan nopeuttamiseksi on kuitenkin jouduttu tytymään hieman pienempään resoluutioon, joka on vaihdellut paitaan mukaan 6–20 mm. Vokselin johtavuus ja permittiivisyys vastaa samalla kohdalla kehoa olevan kudoksen keskiarvoja.

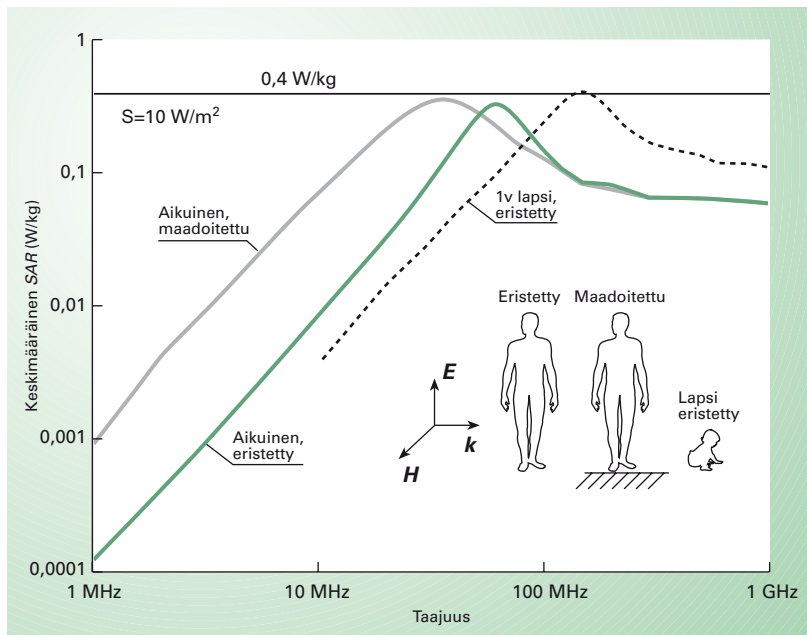
resonanssitaajuus on siis 65 MHz. Tällä resonanssitaajuudella tehotiheyden ollessa  $10 \text{ W/m}^2$  koko kehon keskimääräinen  $\text{SAR}_{\text{wba}}$  on  $0,33 \text{ W/kg}$ . Resonanssitaajuudesta alkaa absorptiossa hidast lasku, jossa SAR laskee likimain käännekkäin verrannollisesti taajuuteen. Yli 400 MHz taajuudella ominaisabsorptionopeus alkaa lähestyä vakiotasoa, joka on likimain viidesosa resonanssitaajuuden SAR-arvosta.

Kuvassa 3.18 on havainnollistettu miten ihmisen koko ja sähköinen yhteys maahan vaikuttavat koko kehon absorptioon. Sähkökenttä on jälleen kehon pituusakselin suuntainen. SAR-käyrät on laskettu tilanteille, joissa aikuinen on sähköisesti eristetty maasta, aikuinen on hyvässä

yhteydessä maahan, ja noin vuoden ikäinen lapsi on sähköisesti eristetty maasta. Resonanssitaajuus kasvaa käänneen verrannollisesti pituuteen, jolloin resonanssiabsorptio on lapsella hieman suurempi kuin aikuisella.

Maadoittaminen tuottaa ihmisen alle peilikuvan ja laskee resonanssitaajuiden likimain puoleen. Maksimi koko kehon SAR kasvaa jonkin verran, mutta paljon vähemmän kuin taulukon 3.2 depolarisaatiokertoimista voisi päättää. Se johtuu siitä, että nilkkojen ja jalkaterien vastus on niin suuri, että se rajoittaa oikosulkuvirtaa resonanssissa. Paksussa pyörähdystellipsoidissa virtaa rajoittaa kehon suuri kapasitiivinen impedanssi maahan nähdien.

Useimmissa altistumisstandardeissa kentänvoimakkuuksien ja ekvivalentisen tehotiheyden raja-arvot on johdettu siten, että koko kehon SAR ei saisi missään olosuhteissa ylittää perusrajaa  $0,4 \text{ W/kg}$ . On hyvin kiinnostavaa, että aikuisen SAR on lähes aina pienempi kuin lapsen SAR.



Kuva 3.18 Ihmisen koon ja johtavan maakontaktin vaikutus koko kehon absorptioon

Sähkömagneettisen tasaoallon ( $10 \text{ W/m}^2$ ) aiheuttama koko kehon keskimääräinen SAR on laskettu taajuuden funktiona maasta eristetylle aikuiselle, maasta eristetylle noin vuoden ikäiselle lapselle sekä johtavaan maahan oikosuljetulle aikuiselle. Aikuisen pituus on  $1,76 \text{ m}$  ja lapsen pituus  $0,75 \text{ m}$ . Laskennassa on käytetty heterogeesta FDTD-mallia (Dimbylow 1997).

tavaa havaita, että  $10 \text{ W/m}^2$  tasoaaltokentässä kaikkien edellä esitettyjen SAR-käyrien huippuarvot ovat lähellä, mutta kuitenkin  $0,4 \text{ W/kg}$  tason alapuolella, kuva 3.18. Ekvivalenttisen tehotiheyden viitearvot ovat siten varsin hyvin sopusoinnussa keskenään sellaisessa tilanteessa, jossa sähkömagneettinen aalto kytkeytyy mahdollisimman tehokkaasti ihmiseen taajuuksilla 10–400 MHz.

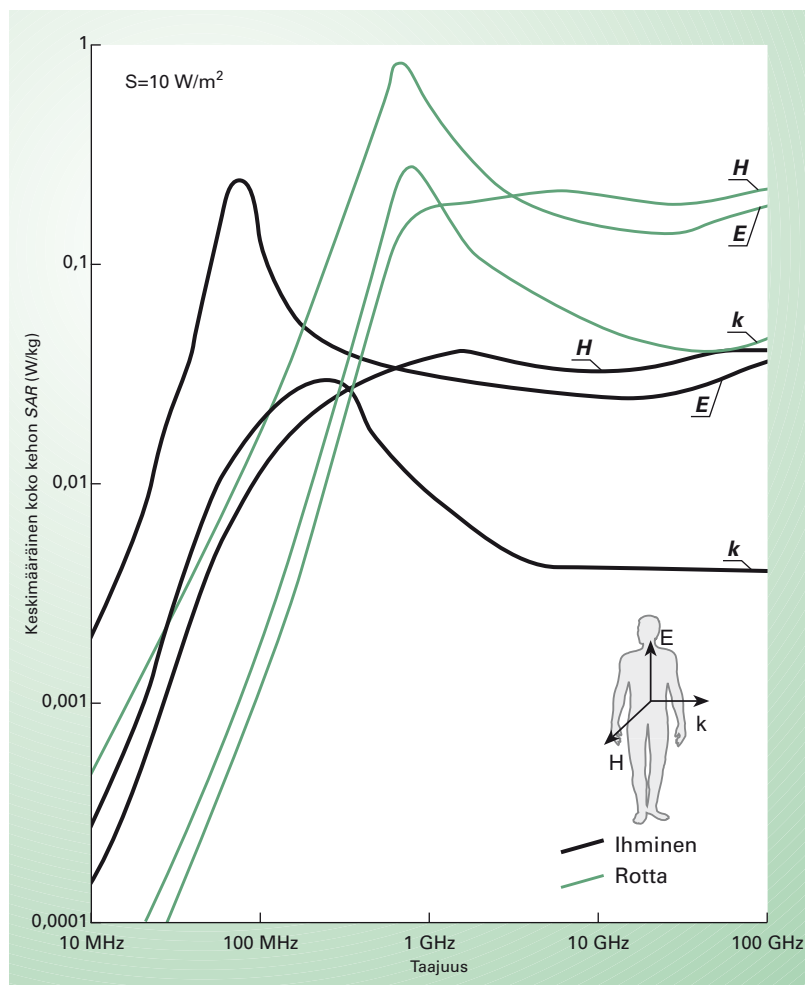
Kehon asento sähkömagneettisen aallon tulosuuntaan nähdyn vaikuttaa keskeisesti absorptioon. Kuvassa 3.19 on esitetty miten aallon tulosuunta vaikuttaa kahden erikokoisen pyörähdysellipsoidin tapauksessa. Pyörähdysellipsoidit edustavat täysikasvuista ihmistä ja rottaa. Aallon tulosuuntaa kuvataan E- H- ja k-polarisaatioilla:

- E-polarisaatio: edellä esitetyn mukaisesti resonanssihuippu on maksimissaan, kun sähkökenttä on ellipsoidin pituusakselin suuntainen ja aallon etenemissuunta on sitä vastaan kohtisuorassa.
- H-polarisaatio: magneettikentän ollessa ellipsoidin pituusakselin suuntainen ei resonanssihuippua esiinny lainkaan, mutta suurilla taajuuksilla absorptio on samaa luokkaa kuin E-polarisaatiolla. Se on luonnollista, koska suurilla taajuuksilla SAR määräytyy aallon kohtaaman kapaleen fysikaalisesta poikkipinta-alasta, joka on pyörähdysellipsoidissa sama E- ja H-polarisaatiolla, (katso kohta 3.6).
- k-polarisaatio: aallon edetessä ellipsoidin pituusakselin suunnassa esiintyy jonkinlainen resonanssihuippu, joka kuitenkin on huomattavasti matalammalla kuin E-polarisaatiolla.

Rotan absorptio poikkeaa oleellisesti ihmisen absorptiosta. Pienemmässtä koosta johtuen resonanssitaajuus kasvaa kymmenkertaiseksi (700 MHz) ja maksimiabsorptio E-polarisaatiolla 3,6 kertaiseksi. Sen sijaan kvasisitaatisilla taajuuksilla rottamalli absorboi tehoa likimain neljä kertaa heikommin kuin ihmismalli, sillä rotan vartalo on huomattavasti pyöreämpi kuin ihmisen vartalo. Kvasisitaatisella alueella sähkökentän kytkeytymien heikkenee, kun kappale pyöristyy. Magneettikentän suhteellinen kytkeytyminen lisääntyy, mutta se ei korvaa sähköisen kytkennän heikentymistä.

Rottien ja muiden koe-eläinten absorptio-ominaisuudet on tunnettava, kun tehdään eläinkokeita radiotaajuisen säteilyn biologisista vaikutuksista. Suuret erot absorptio-ominaisuksissa aiheuttavat sen, että erikoisilla lajeilla havaittuja vaikutuksia ei voida vertailla keskenään, jos käytetään samaa tehotiheyttä. Kokeet on suunniteltava siten, että ainakin koko kehon keskimääräinen SAR on sama. On kiinnostava havaita, että noin 1 GHz taajuudella rottia absorboi likimain yhtä paljon k- ja H-

polarisaatiossa (sähkökenttä kohtisuorassa pituusakselia vasten). Tätä voidaan hyödyntää suunnittelemalla altistusjärjestelmä niin, että rotta voi liikkua häkissään H-k-tasossa ilman etä liikkeellä on huomattavia vaikutuksia absorptioon. Vain, jos rotta nousee takajaloilleen, absorptio kasvaa merkittävästi.



Kuva 3.19 Keskimääräinen koko kehon SAR rottaa ja ihmistä kuvaavissa pyörähdyseellisoidessa

Rotan ja ihmisen absorptiota on vertailtu laskemalla keskimääräinen SAR eri suunnista tulevassa tasaoaltokentässä. Ellipsoidin pituusakseli on E-polarisaatiossa sähkökentän suuntainen (pikkukuva), H-polarisaatiossa magneettikentän suuntainen ja k-polarisaatiossa aallon etenemisvektorin suuntainen (Durney ym. 1978). Kvasistaattisella alueella laskettu absorptio on likimain viidesosa todellisesta arvosta, koska mallina käytetty homogeeninen pyörähdyseellipsoidi ei huomioi alaraajoissa tapahtuvaa virran ahtautumista.

## Tehotihentymät resonanssialueella

Kehon sisälle syntyvien tehotihentymien eli paikallisten kuumien pisteiden SAR voi huomattavasti ylittää keskimääräisen koko kehon SAR-arvon. Tehotihentymiä syntyy kaikilla taajuusalueilla, mutta resonanssialueelle on ominaista se, että niitä voi syntyä kehon sisäosiin eri suuntiin etenevien aaltojen interferoidessa ja resonoidessa keskenään. Tehotihentymien synnylle on useita eri syitä, jotka riippuvat taajuudesta ja altistumisilanteesta:

- Resonanssialueen alapäässä virran ahtautuminen synnyttää nilkoissa kuuman pisteen.
- Aaltojen heijastuminen kudosten rajapinnoista aiheuttaa seisovia aaltoja, joissa on absorptiohuippuja likimain puolen aallon välein.
- Kaareutuvat rajapinnat voivat linssin tavoin fokusoida aaltoja polttopisteeseen.
- Vähähäviöllisen kudoksen ympäröimässä häviöllisemmässä kudosalueessa voi syntyä puoliaaltoresonanssi.
- Pieni säteilylaite lähellä kehoa, esimerkiksi matkapuhelin, aiheuttaa pinnallisen SAR-tihentymän.

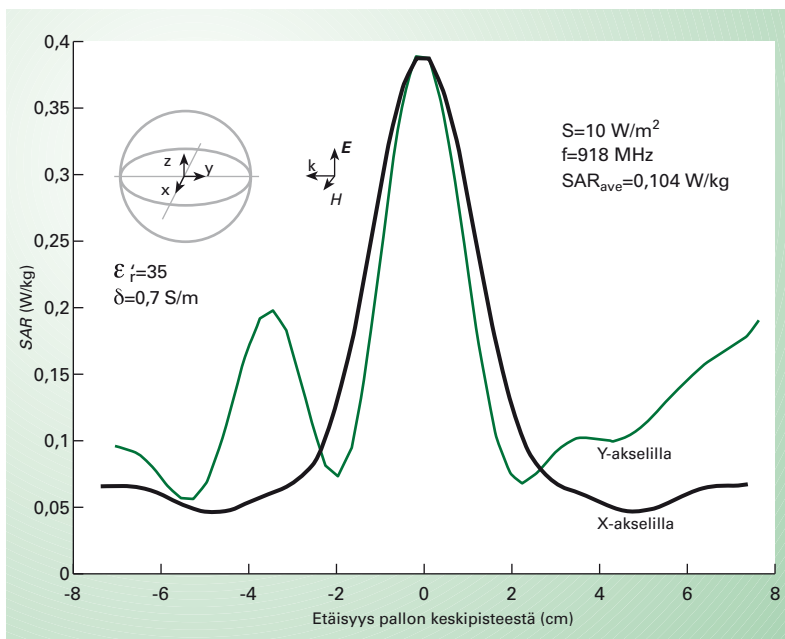
Esimerkki resonanssialueen tehotihentymästä on kuvassa 3.20, jossa on esitetty pallon ominaisabsorptionopeuden jakauma tasoaaltokentässä. Palloa voidaan pitää hyvin yksinkertaistettuna mallina ihmisen päästä. Pallo koostuu homogeenisesta materiaalista, jonka permittiivisyys ja johdavuus vastaavat keskimääräisiä aivokudoksen arvoja. Pallon keskelle syntyy selvä SAR-huippu, joka on yli kaksinkertainen verrattuna keskimääräiseen SAR-arvoon. Tehotihentymä aiheutuu pallon sisällä tulosuunnassa heijastelevien aaltojen summautumisesta, mutta myös fokusointimella on vaikutusta. Summautumisen vaikutus ilmenee noin puolen aallon välein toistuvissa absorptiohuipuissa, joiden kohdalla etenevät ja heijastelevat aallot ovat samassa vaiheessa.

Kudoksissa aallonpituuus ( $\lambda_i$ ) on pienempi kuin ilmassa ( $\lambda_o$ ). Niiden välillä vallitsee yhteys  $\lambda_i \approx \lambda_o / \sqrt{\epsilon_r}$ . Koska suhteellisen permittiivisyyden reaaliosaa  $\epsilon_r'$  on suuri (35–100), on aallonpituuus kudoksissa tyypillisesti kolmas- tai vain kahdeksasosa aallonpituudesta ilmassa. Yli 100 MHz taajuuksilla kehon sisälle alkaa mahtua useita aallonpituuksia (kuva 3.4b). Yli 1 GHz taajuuksilla sähkömagneettisen aallon voimakas vaimeneminen kudoksessa vähentää kuitenkin oleellisesti aaltojen keskinäisestä resonoinnista aiheutuvia huippuja.

Kuvasta 3.20 voisi saada sen käsityksen, että matkapuhelimen säteily

altistaisi erityisen voimakkaasti aivojen keskiosia. Näin ei kuitenkaan ole, sillä matkapuhelimen käyttäjä ei altistu tasoaallolle kaukokenttäolosuhteissa, vaan käyttäjä altistuu antennin synnyttämälle lähikentälle. Lähikentän aiheuttama SAR on aina hyvin pinnallinen, koska antennin lähellä kenttä vaimenee nopeasti etäisyyden funktiona (luvut 9 ja 10).

Tarkimpien dosimetristen laskelmien mukaan tasoaallon aiheuttama paikallinen SAR voi resonanssialueella olla suurimmillaan 20–30 kertainen koko kehon keskimääräiseen SAR-arvoon verrattuna. Altistumisstandardeja johdettaessa on lähdetty siitä, että paikallinen huippuarvo kehon sisäosissa saa olla huomattavasti suurempi kuin koko kehon keskiarvo, koska verenkierto ja lämmönjohtuminen tasaavat tehokkaasti paikallisten kuumien pisteenäiden aiheuttamaa lämmitystä, (katso myös kappale 4). Siten tasoaalto-olosuhteissa keskimääräisen SAR:n rajat suojaavat riittävän hyvin myös paikallisilta lämpövaikutuksilta. Jos kuitenkin altistuminen on hyvin epätasaista tai vain pieni osa kehosta al-



Kuva 3.20 SAR-jakauma aivoja simuloivassa pallossa

FDTD-menetelmällä laskettu SAR-jakauma aivoja simuloivassa homogeenisessa pallossa. Palloon kohdistuu  $10 \text{ W/m}^2$  tasoaalton kenttä. Keskimääräinen SAR pallossa on  $0,104 \text{ W/kg}$ . Kuva vastaa tilannetta, jossa ihminen on säteilylähteen synnyttämässä kaukokenttässä.

tistuu, on paikallinen huippu SAR kriittisempi kuin koko kehon SAR. ICNIRPin työntekijöitä koskeva perusraja paikalliselle huippu SAR:lle kehossa ja päässä on 10 W/kg, ja muulle väestölle viisi kertaa pienempi eli 2 W/kg. Nämä ovat 25 kertaa suurempia kuin vastaavat koko kehon SAR-arvot 0,4 W/kg ja 0,08 W/kg.

### 3.6 | Pinta-absorptioalue

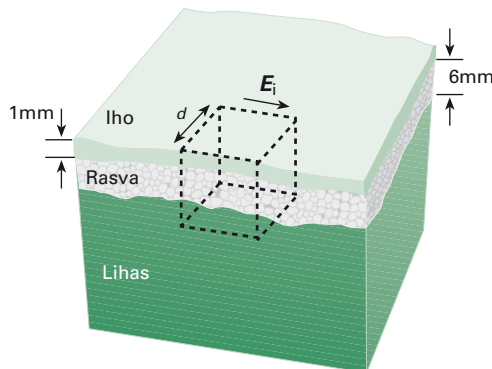
#### Tasomalli

Pinta-absorption alueella 3–300 GHz ulkoisen sähkömagneettisen kentän aallonpituuus on pieni kehon mittoihin verrattuna. Suurin osa tehosta absorboituu kehon pintakerroksien lämmittäen ihoa ja välittömästi sen alla olevia kerroksia. Pinta-absorptioalueen dosimetriassa voidaan käyttää monikerroksista tasomallia, jolla laskenta tulee suhteellisen yksinkertaiseksi (kuva 3.21). Tasomallin käyttö perustuu kvasioptiseen oletukseen, jonka mukaan riittävän suurilla taajuuksilla aallonpituuus on niin pieni ( $< 10 \text{ cm}$ ), että kehon pintaan voidaan paikallisesti pitää tasopintana. Pinnalle tulee tasoaalto, josta osa heijastuu ja osaa jatkaa sisäpuolelle vaimentuvana ja eri kudosten rajapinnoista heijastelevana aaltona. Aallon tulosuunta tasoon nähdyn voi vaihdella, mutta useimmiten oletetaan, että aalto tulee kohtisuoraan pintaan vasten.

Kuvan 3.21 kolmikerrosisessa tasomallissa ylimmän kerroksen muodostaa yhden millimetrin paksuinen iho. Sen takana on kuuden millimetrin paksuinen rasvakerros, jonka takana on niin paksu kerros lihastyyppistä kudosta, että sen takaa ei tule enää merkittäviä heijastuksia.

Tasomallille saadaan suhteellisen yksinkertainen analyyttinen ratkaisu lähtemällä Maxwellin yhtälöistä johdetusta aaltoyhtälöstä. Yksikerroksisen tasomallin yhtälöt on koottu asiasta kiinnostunutta lukijaa varten tämän luvun lopussa olevaan erikoiskappaleeseen. Yksikerrosisesta mallista päästään monikeroksiseen malliin laskemalla rajapinnoista heijastuneet aallot etenevien aaltojen kanssa yhteen.

Kuvassa 3.22 on esitetty, miten sähkökenttä ja SAR muuttuvat sähkömagneettisen aallon tunkeutuessa kehoon 10 GHz taajuudella. Päinvastoin kuin homogeenisessa väliaineessa, jossa SAR vaimenee monotonisesti, monikerrosisessa väliaineessa on voimakkaita tehotihentymiä myös pintaan sivemmällä. Ne aiheutuvat aaltojen heijastuksista, joita syn-



**Kuva 3.21 Pinta-absorptioalueella käytettävä tasomalli**

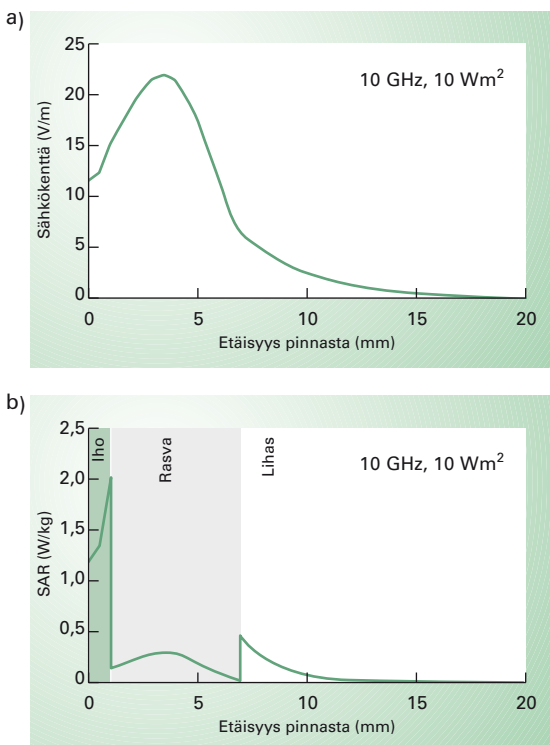
Kehon pintakerroksia kuvaava kolmikerroksinen tasomalli. Se soveltuu dosimetrisiin laskuihin pinta-absorptioalueella yli 3 GHz mikroaaltotaujuksilla. ICNIRPin mukaan SAR määritetään 10 gramman painoisen kudosmassan keskiarvona. Vaikkakaan ICNIRP ei ole selvästi määritellyt minkä muotoisen kudospala on, voidaan olettaa, että se on kuutio. Tällaisen massan sisältävän kuution (kuvassa katkoviiva) särmen pituus  $d$  on 2,15 cm, jos oletetaan, että kudoksen tiheys on likimain sama kuin veden tiheys  $1\ 000 \text{ kg/m}^3$ . Se on hyvä oletus lukuun ottamatta luuta, joka on likimain kaksi kertaa tiheämpää kuin muut kudokset. SAR-huippujen tasaaminen keskiarvoistamalla on termodynamiikasti perusteltua, koska venekierto ja passiivinen lämmönjohtuminen pienentävät paikallisia lämpöhuippuja.

tyy kudosten välisistä rajapinnoista. Erityisen voimakas absorptiopiikki esiintyy ihmisen ja rasvakudoksen rajapinnalla. Se selittyy sillä, että rasvan permittivisyyys ja johtavuus ovat pienempiä kuin vesipitoisemman ihmisen. Tällaisella rajapinnalla aalto tulee sähköisesti tiheämästä aineesta harvempaan. Tästä seuraa, että heijastuneen sähkökentän vaihe on ihmisen puolella likimain sama kuin tulevan aallon. Tällöin sähkökentät summautuvat ja SAR kasvaa.

Rasvakerroksessa on etenevien ja heijastuvien aaltojen interferenssiä aiheutuvaa vaihtelua, mutta absorptio on vähäisempää kuin paljon paremmin johtavassa ihmossä. Rasvakerrokseen syntyy minimikohta rasvan ja lihaksen rajapintaan. Rasvan ja lihaksen rajapinnassa etenevän ja heijastuneen aallon sähkökentät kumoavat osittain toisensa, koska nyt rajapinnalla siirryttää sähköisesti harvemmasta väliaineesta sähköisesti tiheämpään. Voidaan myös ajatella, että rajapinnalla johtavampi lihas oikosulkee kentän. Rasvan keskellä sähkökentät summautuvat samassa vaiheessa aiheuttaen pienen SAR-maksimin. Pakussa lihakerroksessa heijastuvat aallot ovat vaimentuneet pois, joten aalto vaimenee monotonisesti.

Vaikka SAR on nykyisten altistumisrajoitusten johdosta keskeisin dosimetrisen altistumissuure, ei sähkökenttää sovi unohtaa silloin kun tutki-taan muita kuin lämmöstä aiheutuvia vaikuttuksia. Sähkökentän jakauma poikkeaa oleellisesti SAR:n jakaumasta, koska johtavuus ei vaikuta sähkökenttään yhtä voimakkaasti kuin absorptioon. Sähkökentän maksimi on 10 GHz taajuudella rasvakerroksen keskellä.

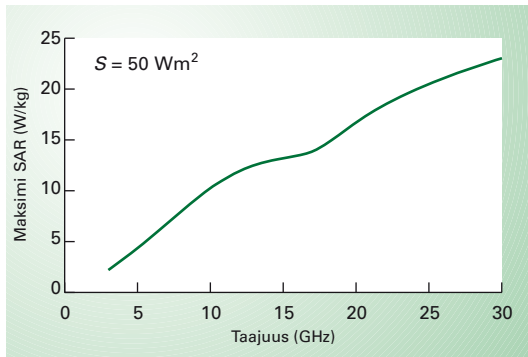
Pinta-absorptio kasvaa ja tunkeutumissyyvys pienenee taajuuden funk-tiona. Kun tulevan aallon tehotiheys on  $50 \text{ W/m}^2$  (ICNIRPin viitearvo), maksimi paikallinen SAR-arvo  $10 \text{ W/kg}$  ylitetään taajuudella 10 GHz, kuva 3.23. Hyvin suurilla taajuuksilla eli millimetri- ja infrapuna-alueel-la pinta-SAR nousee hyvin suureksi. Tällä ei kuitenkaan ole merkitystä, koska ihon lämmönsäätyjärjestelmä on hyvin sopeutunut sähkömag-neettisen säteilyn aiheuttamaan pintalämmitykseen. Auringon säteilyn



**Kuva 3.22 Mikroaltojen tunkeutuminen kehoon 10 GHz taajuudella**

Kolmikerroksista tasomallia käytettäen on laskettu

- a) sähkökentän voimakkuus ja
  - b) ominaisabsorptionopeus
- etäisyyden funktiona ihmisen pinnalta. Käyriä laskettaessa on oletettu, että tasoaalto tulee ihmelle tulee kohtisuoraan.



Kuva 3.23 SAR kasvaa iholla taajuuden funktiona

Kolmikerroksista tasomallia käyttäen on laskettu iholla esiintyvä maksimi SAR taajuuden funktiona gigahertsialueella, kun iholle tulee kohtisuora tasoaalto.

tehotiheys voi olla yli  $800 \text{ W/m}^2$  näkyvän valon ja infrapunasäteilyn aallonpituuksilla (alle 1 mm). Yli 6 GHz taajuksilla on järkevämpää rajoittaa tehotiheyttä kuin ominaisabsorptiopeutta.

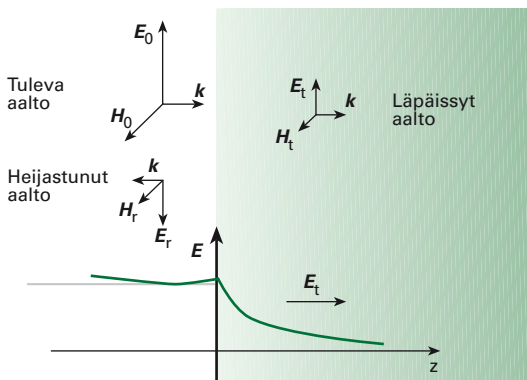
### SAR:n ja tehotiheyden välinen yhteys pinta-absorptioalueella

Suurilla mikroaaltataajuksilla paikallinen ihmaksimi ei yleensä ole kriittinen vaan koko kehon lämpeneminen. On hyödyllistä tarkastella miten koko kehon SAR riippuu tehotiheydestä pinta-absorptioalueella. Absorboitunut teho saadaan kertomalla tehotiheys  $S$  kehon fysikaalisella poikkipinta-alalla  $A$  ja huomioimalla heijastunut teho. Koko kehon SAR saadaan jakamalla absorboitunut teho  $P$  massalla  $m = \rho V$  ( $\rho$  on tiheys ja  $V$  tilavuus>):

$$SAR_{wba} = \frac{(1 - R^2)SA}{\rho V} , \quad (3.36)$$

missä  $R^2$  on tehoheijastuskerroin ihon pinnalla ja tekijä  $1-R^2$  huomioi absorboituneen tehon osuuden. Tyypillisesti vain noin kolmannes mikroaaltotehosta absorboituu kehoon ja loppu heijastuu takaisin, kuva 3.24.

Kun sähkökenttä on pituusakselin suuntainen (E-polarisaatio), pyörähydysellipsoidin fysikaalinen poikkipinta-ala  $A = \pi ab$  on suurimmillaan. Ottamalla huomioon, että pyörähydysellipsoidin tilavuus  $V = 4/3\pi ab^2$



**Kuva 3.24 Sähkömagneettisen aallon tunkeutuminen tasomaiseen biologiseen materiaaliin**

Sähkökenttä vaimenee eksponentiaalisesti häviöllisessä väliaineessa. Tunkeutumissyydellä  $z = 1/\alpha$  sähkö ja magneettikenttä ovat vaimentuneet  $1/e$  osaan eli noin 37 prosenttiin alkuperäisestä arvosta. Osa tulevasta aalosta heijastuu rajapinnalla takaisin ja summautuu tulevaan aaltoon.

saadaan yhtälö 3.36 muotoon

$$SAR_{wba} = \frac{3(1 - R^2)S}{4\rho b} . \quad (3.37)$$

Tästä voidaan yleistää, että pinta-absorptioalueella koko kehon SAR on käänään verrannollinen kehon läpimitaan, jos muoto pysyy samana, mikä on fysikaalisesti järkevä tulos. Lämpimän kasvaessa SAR pienenee, koska massa kasvaa nopeammin kuin absorboiva pinta-ala.

Tehotihedällä  $50 \text{ W/m}^2$ , joka on ICNIRPIN työntekijöitä koskeva viitearvo, saadaan koko kehon SAR-arvoksi  $0,1 \text{ W/kg}$ , kun  $b = 0,14$ ,  $R^2 = 0,63$  ja  $\rho = 1000 \text{ kg/m}^3$ . Tulos on neljäsosa ICNIRPIN työntekijöitä koskevasta  $0,4 \text{ W/kg}$  perusrajasta. Käytännössä ihmiseen voi absorboitua tehoa hieman enemmän kuin mitä ellipsoidimallin perusteella voidaan arvioida, sillä useimmat ihmiset ovat pyörähdyssä paremmin ihmistä kuvaavaksi ellipsoidiksi SAR kasvaa noin 40 %. ICNIRP onkin käyttänyt varsin konservatiivista mallia päätyessään viitearvoon  $50 \text{ W/m}^2$ . Toisaalta IEEE:n (Institute of Electrical and Electronics Engineers) standardissa vuodelta 1999 tehottihedsraja on hieman korkeammalla tasolla eli  $100 \text{ W/m}^2$  yli 3 GHz taajuuksilla.

## Yksikerroksinen tasomalli

Oletetaan, että ilmassa etenevä sinimuotoinen sähkömagneettinen tasaoalto kohtaa tasopinnan, jonka takana on puoliavaruuden täyttävä homogeninen häviöllinen väliaine, kuva 3.24. Aalto etenee z-suuntaan, eli kohtisuoraan ihmisen pintaan nähdyn. Sähkö- ja magneettikentät voidaan esittää ajan  $t$  ja paikan  $z$  funktiona kompleksimuodossa<sup>2</sup>

$$E(z, t) = E_o e^{-\gamma z} e^{j\omega t} \quad \text{ja} \quad (3.38)$$

$$h(z, t) = H_o e^{-\gamma z} e^{j\omega t}, \quad (3.39)$$

missä  $E_o$  ja  $H_o$  ovat tulevan aallon kentänvoimakkuuksien amplitudeja ja  $\omega$  näiden kulmataajuus. Paikkariippuvuus määrittyy kompleksisesta etenemiskertoimesta

$$\gamma = \alpha + j\beta = j\omega \sqrt{\mu_o \epsilon_o (\epsilon_r - j\epsilon''_r)} \quad , \quad (3.40)$$

missä

$\mu_o = 4\pi \cdot 10^{-7}$  H/m on biologisen materiaalin permeabiliteetti,  
 $\epsilon_o = 8,854 \cdot 10^{-12}$  F/m tyhjön permittiivisyyys  
 $\epsilon'_r - j\epsilon''_r$  on väliaineen suhteellinen kompleksinen permittiivisyyys.

Etenemiskertoimen reaaliosa  $\alpha$  on väliaineen häviöstä riippuva vaimennuskerroin, joka käytännössä häviöttömässä ilmassa on nolla. Imaginääriosa  $\beta$  on vaihekerroin. Osa aalosta heijastuu rajapinnalla takaisin. Heijastuneen aallon sähkökentän voimakkuus on  $RE_o$ , missä heijastuskerroin  $R$  on kompleksinen. Resultantikenttä rajapinnalla on tulevan aallon ja heijastuneen aallon summa eli itseisarvona lausuttuna:

$$E_t(0) = |(1 + R)| E_o . \quad (3.41)$$

Kompleksinen heijastuskerroin saadaan lausekkeesta

$$R = \frac{\eta/\eta_o - 1}{\eta/\eta_o + 1} , \quad (3.42)$$

---

<sup>2</sup> Reaaliset kentät saadaan kompleksimuotoisten kenttien reaaliosasta.

missä  $\eta_o = 376,7 \Omega$  on reaalinen aaltoimpedanssi ilmassa ja  $\eta$  kompleksinen väliaineen aaltoimpedanssi. Se saadaan yhtälöstä

$$\eta = \sqrt{\frac{\mu_o}{\epsilon_o(\epsilon_r - j\epsilon'_r)}} . \quad (3.43)$$

Rajapinnalla esiintyvä resultanttikentä on myös se kenttä, joka lähtee etenemään väliaineessa eksponentiaalisesti vaimenevana tasoaaltona

$$e(z, t) = E_t(0)e^{-\alpha z} e^{j(\omega t - \beta)} , \quad (3.44)$$

missä  $E_t(0)$  on sähkökentän voimakkuus pinnalla ja  $E_t(0)e^{-\alpha z}$  väliaineessa. Ominaisabsorptionopeus syvyydellä  $z$  on

$$SAR(z) = \frac{1}{2} \frac{\sigma}{\rho} \frac{(E_t(0)e^{-\alpha z})^2}{\rho} \quad (3.45)$$

missä  $\rho$  on tiheys. Kaavan edessä oleva kerroin  $1/2$  johtuu siitä, että edellä sähkökentän voimakkuus määriteltiin edellä poikkeuksellisesti amplitudin, eikä tehollisarvon suhteen. Sähkökenttä vaimenee eksponentiaalisesti häviöllisessä väliaineessa. Tunkeutumissyvyydellä  $z = 1/\alpha$  sähkö ja magneettikenttä ovat vaimentuneet  $1/e$  osaan eli noin 37 prosenttiin alkuperäisestä arvosta kuten aiemmin todettiin. Samalla tehotiheys ja SAR ovat vaimentuneet  $(1/e)^2$  osaan eli 13,5 prosenttiin. Taajuuden funktioina laskettuja tunkeutumissyvyyksiä on esitetty aikaisemmin kuvassa 3.11. Näin saatiin johdettua yksinkertainen absorptiomalli tarkastelemalla miten paksu tasolevy vaikuttaa sähkömagneettisen aallon etenemiseen.

### 3.7 | Yhteenveton

Tässä luvussa tarkasteltiin miten kehon sisäinen sähkökenttä ja siihen liittyvä virrantiheys määrätyvät kehon ulkopuolella vaikuttavasta ajan funktiona muuttuvasta sähkö- ja magneettikentästä. Kudosten sähköiset ominaisuudet määrätyvät kentän ja varattujen hiukkasten välisistä vuorovaikutuksista, joiden seurauksena aineessa tapahtuu sähköistä polarisointumista. Kudosten permitiivisyys ja johtavuus määrätyvät eniten vesimolekyylien muodostamien dipolien aiheuttamasta polarisaatiosta ( $\gamma$ -dispersio), kudosnesteiden vapaiden ionien kulkeutumisesta kentän

suuntaan sekä alle 10 MHz taajuuksilla solukalvojen polarisoitumisesta eli Maxwellin–Wagnerin ilmiöstä ( $\beta$ -dispersio).

Kudosten johtavuus määräytyy kudosten vesipitoisuudesta, sillä kudosnesteen suolapitoisuus on likimain vakio. Vesipitoiset lihakset ja sisäelimet, joista valtaosa kudoksista muodostuu, johtavat paremmin kuin kuiva rasva ja luu. Mitä parempi johtavuus, sitä häviöllisempiä kudokset ovat. Alle 1 MHz taajuuksilla vapaiden ionien vaikutus on määrävä, kun taas suurilla taajuuksilla myös dielektriset dipolihäviöt ovat merkittäviä.

Kehon sisälle syntynyt sähkökenttä määräytyy ulkoisista kentistä, ympäristöstä, kehon muodosta ja kudosten sähköisistä ominaisuuksista. Kun nämä tunnetaan, kenttä voidaan periaatteessa laskea Maxwellin yhtälöiden avulla käyttämällä sopivaa numeerista menetelmää, kuten FDTD-menetelmää. Analyyttisiä ratkaisuja saadaan vain äärimmilleen yksinkertaistetuille kehon malleille kuten keskimäärisestä kudosmateriaalista muodostuvalle pallolle, pyörähdyssellipsoidille ja paksulle tasolevylle.

Kvasistaattisella alueella taajuus on niin pieni, että sähkö- ja magneettikentän kytketymistä kehoon voidaan tarkastella erikseen. Indusoituneen sähkökentän tuottamiin virtoihin liittyvä sekundaarinen magneettikenttä on niin pieni, että se voidaan unohtaa. Aallonpituuksista kehon sisälläkin on suuri kehon mittoihin verrattuna. Magneettikenttä ja indusoitunut sähkökenttä tunkeutuvat hyvin myös kehon sisäosiin. Virran ahtautuminen aiheuttaa tehotihentymää esimerkiksi nilkkoihin. Koko keho voidaan simuloida yksinkertaisilla absorptiomalleilla kuten pyörähdyssellipsoidilla.

Resonanssialueella 30 MHz – 3 GHz koko keho tai sen osa voi mennä resonanssiin, jonka seurausena absorptio kasvaa huomattavasti. Resonansseista, aaltojen heijastuksista ja virran ahtautumisesta johtuvia kuumia pisteytä esiintyy yleisesti myös kehon sisäosissa. Yksinkertaisilla absorptiomalleilla ei ole käyttöä.

Pinta-absorptioalueella 3–300 GHz säteily on luonteeltaan sähkömagneettista aaltoliikettä, joka tunkeutuu vain kehon pintaosiin – mitä suurempi taajuus sitä pinnallisempi tunkeutuminen ja sitä suurempi SAR. Yksinkertaiset tasomallit toimivat tällä alueella.

## KIRJALLISUUTTA

### Solubiologia ja säteilybiologia:

Alberts B, Bray D, Lewis J, Raff M, Roberts K, Watson JD. Molecular biology of the cell, third edition: Garland Publishing Inc., New York 1994.

Paile W (toim.). Säteilyn terveysvaikutukset, Säteily ja ydinturvallisuus-kirjasarja, STUK, Hämeenlinna 2002.

### Yleistä tietoa aineiden sähköisistä ominaisuuksista ja niiden taustalla olevasta fysiikasta:

Neelakanta PS. Handbook of electronic materials. Monolithic and composite versions and their applications. Boca Raton, New York, London, Tokyo, CRC Press, 1995.

Nyfors E, Vainikainen P. Industrial microwave sensors. Norwood: Artech House, Inc., 1989.

Sihvola A. Electromagnetic mixing formulas and applications. Padstow, Cornwall: The Institution of Electrical Engineers, 1999.

### Biologisten kudosten sähköiset ominaisuudet:

Foster KR and Schwan HP. Dielectric properties of tissues and biological materials: In: Polk C ja Postow E (toimitajat). Handbook of Biological Effects of Electromagnetic Fields. Boca Raton, Boston, London, Washington D.C.: CRC Press, 1996.

Gabriel S, Lau RW, Gabriel C. The dielectric properties of biological tissues: III. Parametric models for the dielectric spectrum of tissues. Phys. Med. Biol., 41: 2271–2293, 1996.

<http://niremf.ifac.cnr.it/tissprop/>

Sähkömagneettisten kenttien dosimetriassa käytettyjä analyyttisiä ja numeerisia menetelmiä:

Lin JC, Gandhi OP. Computational methods for predicting field intensity. In: Polk C ja Postow E (toimittajat). Handbook of Biological Effects of Electromagnetic Fields. Boca Raton, Boston, London, Washington D.C., CRC Press, 1996.

Taflove A. Computational electrodynamics, The Finite Difference Time Domain Method. Norwood: Artech House, inc., 1995.

Yee KS. Numerical solution of initial boundary value problems involving Maxwell's equations in isotropic media. IEEE Transactions on Antennas and Propagation, 14: 302–307, 1966.

Ilvonen S, Sihvonen AP, Kärkkäinen K, Sorros J. Numerical assesment of induced ELF currents in the human head due to the battery current of a digital mobile phone. Bioelectromagnetics, hyväksyty julkaistavaksi, 2005

Muita lähteitä ja viitteitä :

Bernardi P, D'Inzeo G. Interaction mechanisms at microscopic level. In: Francheschetti G, Gandhi OP, Grandolfo M. Electromagnetic Biointeraction-Mechanisms, Safety Standards, Protection Guidelines. Plenum Press, New York: 27–58, 1989.

Chen J-Y, Gandhi OP. RF currents induced in an anatomically-based model of a human for plane-wave exposures (20–100 MHz). Health Phys., 57: 89–98, 1989.

Dimbylow PJ. Current densities in a 2 mm resolution anatomically realistic model of the body induced by low frequency electric fields. Phys. Med. Biol. 2000, 45: 1013–1022.

Dimbylow PJ. FDTD calculations of the whole-body averaged SAR in an anatomically realistic voxel model of the human body from 1 MHz to 1 GHz. Phys. Med. Biol., 42: 479–490, 1997.

Dimbylow PJ. Finite-Difference Time-Domain calculations of absorbed power in the ankle for 10–100 MHz plane wave exposure. IEEE Transactions on Biomed. Engi., 38: 423–428, 1991.

Gandhi OP, Chatterjee I, Wu D, Gu YO. Likelihood of high rates of energy deposition in the human legs at the ANSI recommended 3–30 MHz RF safety levels. Proc. IEEE, 73: 1145–1147, 1985.

Hill AD. Better simple models of human radiofrequency absorption rates for E-polarization at quasi-static frequencies. J Microwave Power, 20: 17–29, 1985.

ICNIRP International Commission on Non-Ionizing Radiation Protection. Guidelines for limiting exposure to time-varying electric, magnetic, and electromagnetic fields (up to 300 GHz). Health Phys., 74: 494–522, 1998.

Johnson CC, Guy AW. Nonionizing electromagnetic wave effects in biological materials and systems. Proc. IEEE, 60: 692–717, 1972.

Jokela K, Puranen L, Gandhi OP. Radio frequency currents induced in the human body for medium-frequency/high-frequency broadcast antennas. Health Phys., 66: 237–244, 1994.

Kaune WT, Forsythe WC: Current densities measured in human models exposed to 60-Hz electric fields. Bioelectromagnetics, 6: 13–32, 1985.

Kaune WT, Gillis MF. General properties of the interaction between animals and ELF electric fields. Bioelectromagnetics, 2: 1–11, 1981.

Lin JC, Guy AW, Johnson CC. Power deposition in a spherical model of man exposed to 1–20 MHz electromagnetic fields. IEEE Trans. Microwave TheorTech., 21: 791–797, 1973.

Matthes R, Mc Kinlay A, Bernhardt JH, Vecchia P, Veyret B (toim.). Exposure to static and low frequency electromagnetic fields, biological effects and health consequences (0–100 kHz). International Commission on Non-Ionizing Radiation Protection, ICNIRP 13/2003, Märkl-Druck, München 2003.

Spiegel RJ. Magnetic coupling to a prolate spheroid model of man. IEEE Trans. Power Apparatus and Systems, 96: 208–212, 1977.

